

UNIVERSIDAD NACIONAL DE LA PLATA
FACULTAD DE CIENCIAS AGRARIAS Y FORESTALES



TRABAJO FINAL DE CARRERA

"Variabilidad genotípica para resistencia a enfermedades, rendimiento y sus componentes con y sin aplicación de fungicidas en una colección de trigos"

Carrera: Ingeniería Agronómica.

Alumno: Colson, Agustín Ignacio

Legajo: 27273/9

Mail: agustíncolson@gmail.com

Director: PhD. MSc. Ing Agr. Simón, María Rosa

Co-director: Ing. Agr. Cardelli, Martín

INDICE

INDICE	2
1 Introducción.....	4
1.1 Origen, descripción, importancia y perspectiva mundial y regional del cultivo de trigo ..	4
1.2 Principales enfermedades fúngicas que afectan al cultivo.....	6
1.3 Rendimiento y componentes	8
2 Hipótesis.....	10
3 Objetivos.....	10
3.1 Objetivo general	10
3.2 Objetivos específicos:	11
4 Materiales y Métodos	11
4.1 Diseño experimental.....	11
4.2 Evaluaciones realizadas	15
4.3 Análisis estadístico.....	15
5 Resultados	16
5.1 Datos climáticos	16
5.2 Severidad	17
5.3 Rendimiento y sus componentes	25
6 Discusión.....	34
7 Conclusiones.....	37
8 ANEXO	38
9 Bibliografía.....	54

RESUMEN

La distribución geográfica mundial actual del cultivo de trigo (*Triticum aestivum* (L) Thell.) es muy amplia a causa de su gran importancia como fuente de alimento y a su gran variabilidad genética en la respuesta fisiológica a condiciones climáticas y ambientales diversas. Los aumentos proyectados de la población, la mala situación nutricional en algunas regiones y la escasa posibilidad de aumentos en la superficie sembrada, determinan la necesidad de incrementar la productividad y esta tendrá que venir casi exclusivamente de las ganancias de rendimiento. El presente trabajo se propone evaluar variabilidad tanto para resistencia a enfermedades como para rendimiento y sus componentes en una colección internacional de trigos y así contribuir al mejoramiento de trigo a través de la identificación de genotipos destacados. Para ello se utilizó un diseño experimental de parcela subdividida en que la parcela principal fueron los tratamientos con fungicidas (CF) y sin fungicidas (SF) y las subparcelas, 103 genotipos de trigo primaverales de una colección internacional previamente mapeada con dos repeticiones. Las evaluaciones se realizaron en EC31, EC60 y EC80 para determinar severidad y ABCPE. Se evaluó rendimiento y sus componentes: espigas.m⁻², granos.espiga⁻¹, peso de mil granos (PMG). Se pudo observar que el desarrollo de enfermedades arrojó valores de severidad significativamente altos en EC80 y se registraron diferencias altamente significativas entre los cultivares evaluados en EC31, EC60, EC80 y para ABCPE. Las enfermedades foliares generaron reducciones notorias en el rendimiento. Ante la aplicación de fungicidas el rendimiento aumentó en promedio 69% con respecto al tratamiento SF. Respecto a los componentes que hacen al rendimiento, se detectó, para espigas.m⁻², una diferencia promedio de 24% en favor del tratamiento protegido, incrementos para granos.espiga⁻¹ del 12% ante la aplicación de fungicidas, y aumentos promedio en el PMG de 23% en tratamientos protegidos. Los genotipos evaluados evidencian importantes diferencias en todas las variables analizadas y respuestas diferenciales ante la aplicación de fungicidas existiendo una gran variabilidad genotípica para resistencia a enfermedades de los cuales fue posible identificar algunos cultivares destacados.

1 Introducción

1.1 Origen, descripción, importancia y perspectiva mundial y regional del cultivo de trigo.

El trigo (*Triticum aestivum* (L) Thell.) pertenece a la tribu *Triticeae* dentro de la familia de las gramíneas (*Poaceae*). Los primeros cultivos encontrados datan de unos 10.000 años atrás, durante lo que se conoce como *revolución neolítica*, momento en el cual los hombres y las mujeres comienzan a transitar el pasaje de un estilo de vida nómada, como cazadores y recolectores, hacia la formación de asentamientos en torno a la actividad agrícola y domesticación de especies tanto vegetales como animales. Estas formas cultivadas eran diploides (genoma AA) y tetraploides (genoma AABB) y sus relaciones genéticas ubicarían su origen en la región sud-oriental de Turquía (Heun *et al.*, 1997; Nesbitt, 1998; Dubcovsky & Dvorak, 2007). La distribución geográfica mundial actual del cultivo es muy amplia a causa de su gran importancia como fuente de alimento y a su gran variabilidad genética en la respuesta fisiológica a fotoperiodo y temperatura, así como a la vernalización (Satorre & Slafer, 1999).

En la actualidad, el planeta se encuentra poblado por aproximadamente 7500 millones de personas (FAOSTAT, 2017). Al parecer, este crecimiento seguirá su marcha ascendente de manera acelerada aunque no bajo una progresión de tipo geométrica o exponencial como de manera intuitiva postulaba Malthus (Jimenez Domínguez, 2010). La gran explosión demográfica acaecida en el siglo pasado se debió principalmente a la prolongación de la vida y la disminución de la mortalidad infantil (Andrade, 1998a). Si bien, en general, el crecimiento de la población mundial se está desacelerando, en algunas regiones la población seguirá ampliándose mucho más allá y para 2050 se espera sea de alrededor de 9730 millones pudiendo llegar a las 11200 millones en 2100 (FAO, 2017). Este crecimiento se encuentra acompañado por otro fenómeno; hace 35 años, más del 60 por ciento de la población vivía en zonas rurales y desde entonces, el equilibrio urbano-rural ha cambiado notablemente. Hoy, poco más de la mitad de la población mundial (54 por ciento) es urbana. Para el 2050, más de dos tercios de todas las personas podrían vivir en zonas urbanas (ONU, 2015). La urbanización creciente modifica los patrones de

consumo de alimentos aumentando la demanda de alimentos procesados (FAO, 2017) en los cuales el trigo participa en alta proporción.

El uso como alimento, resulta el principal impulsor del crecimiento de la utilización total de trigo y es el responsable de que este vaya a aumentar de 485 Mt en 2014 a 536 Mt en 2024. A su vez se espera que el consumo humano de trigo y sus derivados se mantenga en una proporción estable de 68% del total como hasta ahora, el resto de su utilización será como forraje y en la producción de biocombustibles que en caso del trigo irá en detrimento (OCDE, 2015)

La producción de alimentos en general y de trigo en particular, deberá aumentar notablemente para satisfacer la demanda en los próximos años. Según Pengue (2015) mientras que a nivel mundial el aumento de la producción de los cultivos en general estará dada por un 78% en el aumento de los rendimientos, un 13% en la intensificación y prácticas de manejo y tan sólo un 9% por la expansión de la tierra arable, para América Latina, el panorama podría ser otro. El aumento de rendimientos justificaría el 53%, la intensificación el 7% y el cambio en el uso de los suelos el 40%, que es otra forma de llamar a la deforestación. Esto ocurre pues las posibilidades de expansión de las tierras cultivables se dan especialmente en Sudamérica y en África subsahariana (Andrade, 1998b).

El área destinada al cultivo de trigo se encuentra relativamente estabilizada desde la década del 70 del siglo pasado, luego de haber sufrido un aumento importante de 90 millones a 220 millones de ha en el periodo 1900-1970 (Andrade, 1998b), alcanzando su pico máximo en los '80 con casi 240 millones de ha cosechadas (FAOSTAT, 2017). A demás de los peligros que conlleva el avance de la frontera agrícola, el potencial para la expansión de la superficie mundial, en el caso del trigo, será débil debido a que la evolución y proyecciones de los precios relativos no lo favorecen, al menos durante el próximo decenio (OCDE, 2015). En nuestro país, la superficie sembrada ha venido descendiendo en los últimos 20 años. *"Entre las campañas 1996/97 y 2000/01, la superficie implantada promedio fue de 6,3 millones de hectáreas; en el quinquenio siguiente fue de 6,2 millones de hectáreas y en el último, el cual coincide con problemas climáticos (sequías) y mayores restricciones a la exportación (suba de derechos de*

exportación y licencias no automáticas), fue de 4,1 millones de hectáreas” (Barberis, 2014).

Los aumentos proyectados de la población, la mala situación nutricional en algunas regiones, la escasa posibilidad de aumentos en la superficie sembrada, así como el menester de evitar procesos de deforestación determinan la necesidad de incrementar la productividad con el objetivo puesto en lograr aumentos en los rendimientos. El crecimiento de la producción de trigo tendrá que venir casi exclusivamente de las ganancias de rendimiento. Se espera que alrededor del 80% del crecimiento proyectado de la producción de cultivos en los países en desarrollo provendría del aumento de rendimiento para el 2050, el cual se estima será de 3.8 tn.ha⁻¹. Los rendimientos mundiales de trigo aumentaron en unos 40 kg por año entre 1961 y 2007, y se prevé que crecerán 24 kg por año durante el período 2005/2007 a 2050 (Alexandratos & Bruinsma, 2012) “Existen grandes posibilidades de aumentar los rendimientos por unidad de superficie a través de mejoras en el potencial genético de los cultivos” (Andrade, 1998a). El gran incremento en los rendimientos tanto potenciales como reales ocurrido durante los años de la revolución verde se logró desconociendo los mecanismos y componentes determinantes del rendimiento (Andrade, 1998a).

1.2 Principales enfermedades fúngicas que afectan al cultivo

El cultivo de trigo puede ser afectado por un amplio grupo de patógenos que pueden atacar diversos tejidos, ya sea en raíces, tallos, hojas, espigas y granos y así cumplir el ciclo de vida a expensas de la planta (Wiese, 1977; Zillinsky, 1984). Entre estos, las enfermedades foliares constituyen uno de los principales factores que limitan la expresión del rendimiento, componentes y calidad del cultivo de trigo en todo el mundo (Oerke&Dehne, 1997; Annone, 2001; Simón *et al.*, 2002; Oerke&Dehne, 2004; Duveilleret *et al.*, 2007; Carretero, 2011). Por la difusión, frecuencia de aparición y niveles de desarrollo epidémico que alcanzan, se considera que las de mayor importancia relativa son aquellas enfermedades fúngicas que afectan tejidos foliares como la roya de la hoja (*Puccinia triticina* Eriks) (Figura 1-1), la mancha de la hoja [*Zymoseptori atritici*(Desm.)Roberge in Desmaz., teleomorfo *Mycosphaerella graminicola* (Fuckel) J. Schroeter. inCohn] (Figura

1-2) y la mancha amarilla [*Pyrenophora tritici-repentis* (Died.) Drechs., anamorfo *Drechslera tritici-repentis*) (Died.) Shoem.] (Figura 1-1), variando su importancia según los años, comportamiento sanitario de los genotipos, subregiones trigueras en función, entre otros factores, de las condiciones climáticas, ambientales y prácticas culturales.



Figura 1-1Sintomatología de roya de la hoja (*Puccinia triticina* Eriks) (arriba) y mancha amarilla (*Pyrenophora tritici-repentis* (Died.) Drechs., anamorfo *Drechslera tritici-repentis*) (Died.) Shoem.) (Abajo) (Adaptado de Nigel Cattlin).



Figura 1-2 Sintomatología de la mancha de la hoja.
*[Zymoseptoria tritici](Desm.) Roberge in Desmaz., teleomorfo *Mycosphaerella graminicola* (Fuckel) J. Schroeter. In Cohn*

1.3 Rendimiento y componentes

El rendimiento en trigo queda establecido, *a priori* una vez finalizado el ciclo del cultivo, momento en el cual es factible de ser cuantificable. “*Rendimiento es la tasa de producción de un cultivo por unidad de superficie y tiempo*” (Cubillos, 2003). Su generación ocurre a lo largo de toda la ontogenia por el aporte de un conjunto de componentes, cada uno de los cuales, se van generando en distintos momentos del desarrollo del cultivo.

Entre estos componentes, por un lado, los hay de orden fisiológico cuando el enfoque está puesto principalmente en la generación de biomasa y todos aquellos factores implicados en su formación. Es decir que puede expresarse a través de la cantidad de biomasa desarrollada y la proporción de ésta que es particionada hacia los órganos reproductivos. A esta relación se la conoce como índice de cosecha (IC) (Serrago *et al.*, 2009). A su vez la producción de biomasa está determinada por la cantidad de radiación incidente durante el periodo de crecimiento (Rinc), la eficiencia en la intercepción de radiación (% RI), la cual es función del índice de área foliar (IAF) y de la arquitectura del canopeo (determinada por el coeficiente k de extinción) (Miralles y Slafer, 1997); y la eficiencia de uso de la radiación (EUR) (Evans *et al.*, 1978; Gardner *et al.*, 1985). Las enfermedades foliares pueden producir efectos variables sobre estos atributos que junto con el índice de cosecha determinan el rendimiento del cultivo. (Figura 1-3) Pese a esto, el mejoramiento que se ha realizado para varias de estas enfermedades ha sido escaso y entre los factores causales pueden mencionarse la alta variabilidad de los patógenos y la falta de un estudio intenso sobre la genética de la resistencia. El control genético de enfermedades en trigo posee la doble ventaja de ser económicamente conveniente, y ecológicamente sustentable. Por ello resulta de interés para realizar un mejoramiento planificado, estudiar la variabilidad y luego determinar la localización molecular de la resistencia a las enfermedades que se presenten en ensayos sin fungicidas, como así también el rendimiento y sus componentes con y sin aplicación de fungicidas, que representen ambientes con y sin enfermedades.

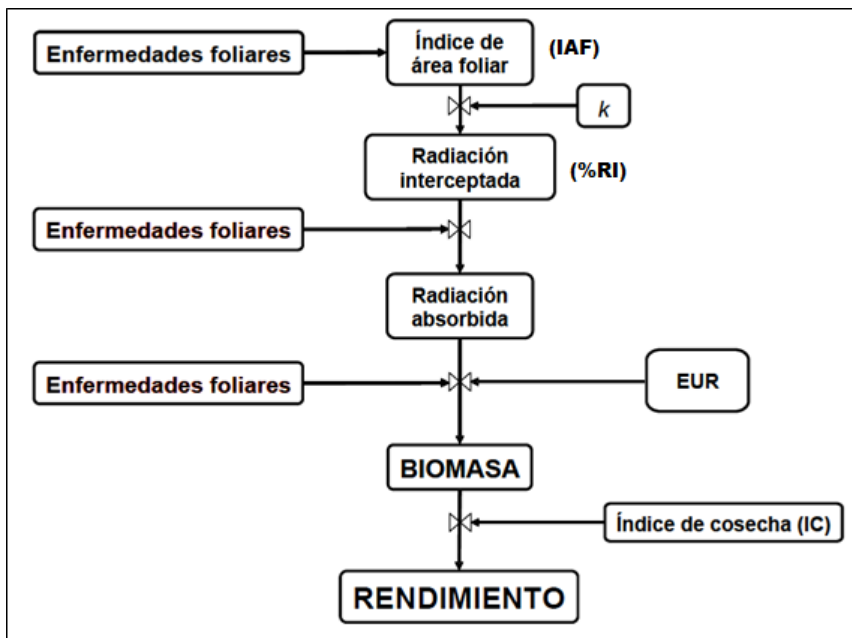


Figura 1-3 Esquema teórico de generación de biomasa y rendimiento en el cultivo de trigo con detalle de los diferentes procesos que son afectados por las enfermedades foliares (Adaptado de R.A. Serrago).

Por otro lado también están los considerados componentes numéricos de rendimiento, tales como: número de granos.m⁻², el cual se compone a su vez por número de espigas.m⁻² y número de granos por espiga; y peso de los granos, compuesto por tasa y duración de llenado de granos. (Cárcova *et al.*, 2004). (Figura 1-4) “Numerosas evidencias han demostrado que (...) el número de granos producidos es el que mejor explica las variaciones en el rendimiento final” (Slafer *et al.*, 2004).

El aumento del rendimiento se explica como consecuencia de la expresión fenotípica de interacciones entre sus componentes (Grafius, 1964).

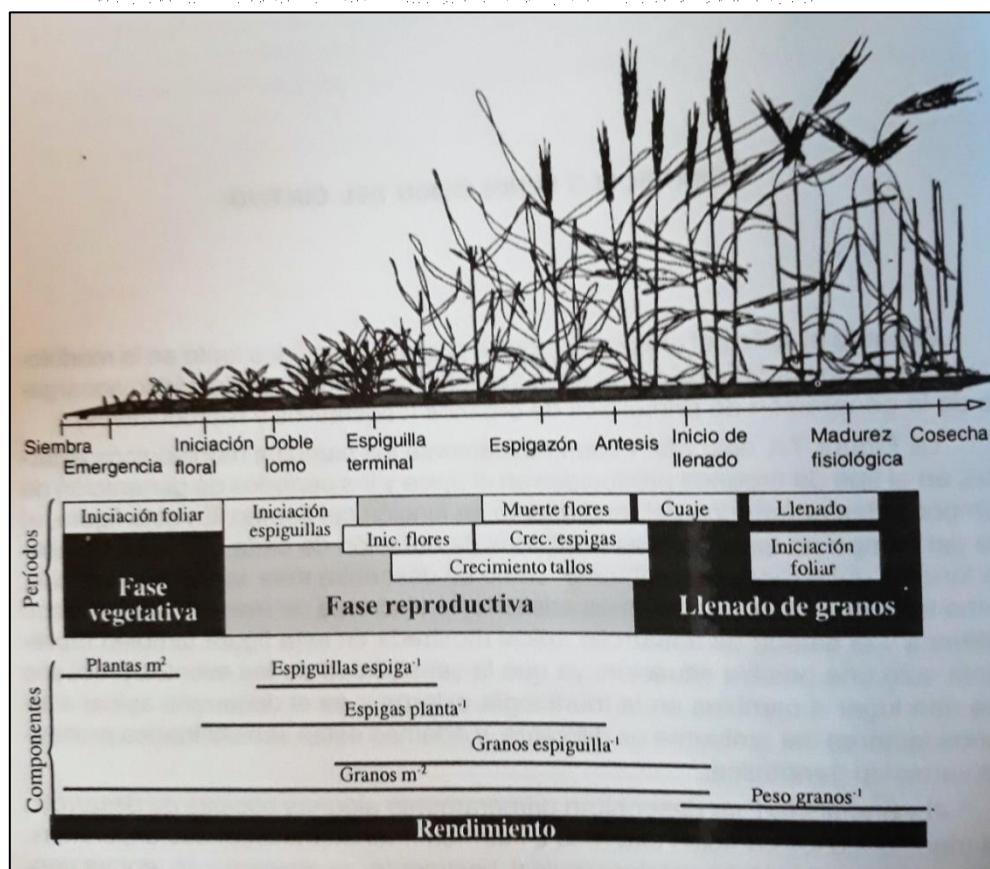


Figura 1-4 Esquema del crecimiento y desarrollo de un cultivo de trigo. Determinación de rendimiento y sus componentes. (Adaptado de Slafer & Rawson, 1994).

2 Hipótesis

- Existe una amplia variabilidad genotípica para severidad causada por las enfermedades foliares de trigo y para rendimiento y sus componentes en particular.
- Es posible identificar algunos genotipos destacados para dichas variables en una colección internacional de trigos.

3 Objetivos

3.1 Objetivo general

Contribuir al mejoramiento de trigo a través de la identificación de genotipos destacados para resistencia a enfermedades, rendimiento y sus componentes

3.2 Objetivos específicos:

- Evaluar variabilidad para resistencia a enfermedades en una colección internacional de 103 genotipos de trigo
- Evaluar variabilidad para rendimiento y sus componentes en dicha colección con y sin control de enfermedades.

4 Materiales y Métodos

4.1 Diseño experimental

El ensayo se condujo en la Estación Experimental Julio Hirschhorn de Los Hornos, perteneciente a la Facultad de Ciencias Agrarias y Forestales de la Universidad de La Plata, situada en: 34°59'04.3"S, 57°59'50.5"O. Se utilizó un diseño experimental de parcela subdividida en que la parcela principal fueron los tratamientos con fungicidas (CF) y sin fungicidas (SF) y las subparcelas, 103 genotipos de trigo primaverales (Tabla 4.1) de una colección internacional previamente mapeada con dos repeticiones. La colección de genotipos primaverales con caracteres contrastantes fue obtenida de una colección más amplia que incluía también trigos invernales seleccionados de 32 países del German Federal ex situ Genebank, Gatersleben, Alemania.

La preparación de la cama de siembra consistió en un esquema de labranza convencional con utilización de disco, rastra y rolo, así como de un barbecho químico el cual estuvo constituido por una aplicación de pre-siembra con glifosato y una en post-emergencia temprana donde se aplicó 100 cm³ Misil® + 5 g.ha⁻¹ (dicamba 48% – metsulfurónmetil 60%).

La siembra se realizó en el mes de julio de 2016 y se llevó a cabo utilizando una sembradora experimental, con una distancia entre hileras de 20 cm y una densidad de

250 plantas/m². (Figura 4-1a) Cada parcela tuvo un largo de 3,40 m y un ancho de 1,40 m (4,8 m²). (Figura 4-1b)



Figura 4-1 a-Siembra del ensayo; b-Tamaño de parcela (1,40m x 3,40m); c y d-Vista parcial de la distribución de los bloques.

Etapa principal	Descripción	Sub-fase
0	Germinación	0.0-0.9
1	Producción de hojas TP	1.0-1.9
2	Producción de macollos	2.0-2.9
3	Producción de nudos TP (encañado)	3.0-3.9
4	Vaina engrosada	4.0-4.9
5	Espigado	5.0-5.9
6	Antesis	6.0-6.9
7	Estado lechoso del grano	7.0-7.9
8	Estado pastoso del grano	8.0-8.9
9	Madurez	9.0-9.9

Figura 4-2 Escala de Zadoks para las etapas de crecimiento del cultivo.

En las subparcelas con control de enfermedades se aplicó una triple mezcla (BASF Orquesta Ultra) de fluxapyroxad 50 g/l (carboxamida), epoxiconazole 50 g/l (triazol) y pyraclostrobin 81 g/l (1,2 l/ha) (estrobilurina), en cuatro estadios: 2-3 hojas (EC12), encañazón, EC31, hoja bandera desplegada, EC 39 y floración, EC60 (Zadoks *et al.*, 1974) (Figura 4-2), para asegurar un testigo con baja infección y observar diferencias entre genotipos en ambas condiciones.

En todas las sub-parcelas se aplicó 100 kgN/ha (46-0-0), particionados en dos momentos, a la siembra y a fines de macollaje.

Tabla 4.1 Genotipos utilizados y su origen

Nº	Cód.	Nombre	Variedad	Origen	Nº	Cód.	Nombre	Variedad botánica	Origen
1	TRI 403	<i>T. aestivum</i> L.	lutescens	USA	55	TRI 4540	<i>T. aestivum</i> L.	<i>melanopogon</i>	Russia
2	TRI 2513	<i>T. aestivum</i> L.	lutescens	China	56	TRI 4545	<i>T. aestivum</i> L.	<i>aestivum</i>	Austria
3	TRI 2619	<i>T. aestivum</i> L.	suberythrospe	Nepal	57	TRI 4547	<i>T. aestivum</i> L.	<i>milturum</i>	Chile
4	TRI 2656	<i>T. aestivum</i> L.	<i>milturum</i>	India	58	TRI 4549	<i>T. aestivum</i> L.	<i>lutescens</i>	Chile
5	TRI 2679	<i>T. aestivum</i> L.	<i>aestivum</i>	India	59	TRI 4551	<i>T. aestivum</i> L.	<i>leucospermum</i>	Chile
6	TRI 2835	<i>T. aestivum</i> L.	<i>meridionale</i>	Afghanistan	60	TRI 4563	<i>T. aestivum</i> L.	<i>milturum</i>	Italy
7	TRI 2889	<i>T. aestivum</i> L.	lutescens	Nepal	61	TRI 4919	<i>T. aestivum</i> L.	<i>graecum</i>	Austria
8	TRI 3126	<i>T. aestivum</i> L.	<i>milturum</i>	Portugal	62	TRI 4940	<i>T. aestivum</i> L.	<i>aestivum</i>	USA
9	TRI 3242	<i>T. aestivum</i> L.	lutescens	USA	63	TRI 4942	<i>T. aestivum</i> L.	<i>ferrugineum</i>	USA
10	TRI 3438	<i>T. aestivum</i> L.	<i>ferrugineum</i>	Germany	64	TRI 4943	<i>T. aestivum</i> L.	<i>lutescens</i>	Sweden
11	TRI 3477	<i>T. aestivum</i> L.	lutescens	New Zeland	65	TRI 5262	<i>T. aestivum</i> L.	lutescens	Estonia
12	TRI 3492	<i>T. aestivum</i> L.	Unknown	Nepal	66	TRI 5304	<i>T. aestivum</i> L.	<i>ferrugineum</i>	Sweden
13	TRI 3511	<i>T. aestivum</i> L.	lutescens	Portugal	67	TRI 5310	<i>T. aestivum</i> L.	<i>aestivum</i>	French
14	TRI 3513	<i>T. aestivum</i> L.	lutescens	UK	68	TRI 5315	<i>T. aestivum</i> L.	<i>ferrugineum</i>	Argentina
15	TRI 3526	<i>T. aestivum</i> L.	lutescens	Portugal	69	TRI 5325	<i>T. aestivum</i> L.	<i>ferrugineum</i>	Argentina
16	TRI 3564	<i>T. aestivum</i> L.	<i>ferrugineum</i>	Portugal	70	TRI 5332	<i>T. aestivum</i> L.	<i>ferrugineum</i>	USA
17	TRI 3569	<i>T. aestivum</i> L.	lutescens	Uruguay	71	TRI 5333	<i>T. aestivum</i> L.	<i>ferrugineum</i>	Spain
18	TRI 3570	<i>T. aestivum</i> L.	<i>aestivum</i>	India	72	TRI 5342	<i>T. aestivum</i> L.	<i>aestivum</i>	Germany
19	TRI 3631	<i>T. aestivum</i> L.	lutescens	Canada	73	TRI 5357	<i>T. aestivum</i> L.	<i>aestivum</i>	UK
20	TRI 3633	<i>T. aestivum</i> L.	lutescens	Canada	74	TRI 5386	<i>T. aestivum</i> L.	<i>aestivum</i>	Bulgaria
21	TRI 3664	<i>T. aestivum</i> L.	lutescens	Germany	75	TRI 5425	<i>T. aestivum</i> L.	<i>aestivum</i>	Spain
22	TRI 3831	<i>T. aestivum</i> L.	<i>ferrugineum</i>	Portugal	76	TRI 5426	<i>T. aestivum</i> L.	<i>ferrugineum</i>	Sweden
23	TRI 3839	<i>T. aestivum</i> L.	<i>ferrugineum</i>	French	77	TRI 5438	<i>T. aestivum</i> L.	<i>aestivum</i>	USA
24	TRI 3842	<i>T. aestivum</i> L.	<i>milturum</i>	Portugal	88	TRI 6148	<i>T. aestivum</i> L.	<i>aestivum</i>	Iran
25	TRI 3874	<i>T. aestivum</i> L.	<i>milturum</i>	Italy	89	TRI 10296	<i>T. aestivum</i> L.	<i>aestivum</i>	Mexico
26	TRI 3881	<i>T. aestivum</i> L.	<i>ferrugineum</i>	Italy	90	TRI 10297	<i>T. aestivum</i> L.	<i>aestivum</i>	Brazil
27	TRI 3895	<i>T. aestivum</i> L.	<i>aureum</i>	French	92	TRI 10311	<i>T. aestivum</i> L.	<i>aestivum</i>	Japan
28	TRI 3925	<i>T. aestivum</i> L.	<i>aestivum</i>	Uruguay	93	TRI 10336	<i>T. aestivum</i> L.	<i>variabile</i>	China
29	TRI 3926	<i>T. aestivum</i> L.	<i>aestivum</i>	Uruguay	94	TRI 10338	<i>T. aestivum</i> L.	<i>hostianum</i>	China
30	TRI 3929	<i>T. aestivum</i> L.	<i>pyrothrix</i>	China	95	TRI 10340	<i>T. aestivum</i> L.	<i>leucospermum</i>	China
31	TRI 3931	<i>T. aestivum</i> L.	<i>subhostianum</i>	China	96	TRI 10591	<i>T. aestivum</i> L.	<i>aestivum</i>	Cyprus
32	TRI 3955	<i>T. aestivum</i> L.	Unknown	Nepal	97	TRI 10593	<i>T. aestivum</i> L.	<i>murinumcompactoides</i>	Cyprus
33	TRI 3964	<i>T. aestivum</i> L.	<i>nigricans</i>	Nepal	98	TRI 10620	<i>T. aestivum</i> L.	<i>murinumcompactoides</i>	Cyprus
34	TRI 3987	<i>T. aestivum</i> L.	<i>pyrothrix</i>	India	99	TRI 10625	<i>T. aestivum</i> L.	<i>aestivum</i>	Cyprus
35	TRI 4013	<i>T. aestivum</i> L.	<i>aestivum</i>	Italy	100	TRI 10654	<i>T. aestivum</i> L.	<i>murinumcompactoides</i>	Cyprus
36	TRI 4041	<i>T. aestivum</i> L.	<i>ferrugineum</i>	Canada	102	TRI 10688	<i>T. aestivum</i> L.	<i>aestivum</i>	Greece
37	TRI 4042	<i>T. aestivum</i> L.	lutescens	China	103	TRI 10692	<i>T. aestivum</i> L.	<i>ferrugineum</i>	Greece
38	TRI 4056	<i>T. aestivum</i> L.	<i>villosum</i>	India	104	TRI 10693	<i>T. aestivum</i> L.	<i>aestivum</i>	Greece
39	TRI 4081	<i>T. aestivum</i> L.	<i>ferrugineum</i>	Portugal	105	TRI 10697	<i>T. aestivum</i> L.	<i>ferrugineum</i>	Greece
40	TRI 4112	<i>T. aestivum</i> L.	<i>fulvocinereum</i>	Afghanistan	106	TRI 10702	T. species	(Population)	Unknown
41	TRI 4113	<i>T. aestivum</i> L.	<i>ferrugineum</i>	Afghanistan	107	TRI 10703	<i>T. aestivum</i> L.	lutescens	Greece
42	TRI 4116	<i>T. aestivum</i> L.	<i>aureum</i>	Italy	108	TRI 10704	<i>T. aestivum</i> L.	lutescens	Greece
43	TRI 4117	<i>T. aestivum</i> L.	<i>aestivum</i>	Italy	109	TRI 10705	<i>T. aestivum</i> L.	<i>aestivum</i>	Greece
44	TRI 4118	<i>T. aestivum</i> L.	<i>aestivum</i>	Italy	110	TRI 10707	T. species	(Population)	Unknown
47	TRI 4126	<i>T. aestivum</i> L.	<i>milturum</i>	Italy	111	TRI 10709	<i>T. aestivum</i> L.	<i>aestivum</i>	Greece
48	TRI 4130	<i>T. aestivum</i> L.	<i>milturum</i>	Italy	112	TRI 10710	<i>T. aestivum</i> L.	lutescens	Greece
49	TRI 4141	<i>T. aestivum</i> L.	<i>aestivum</i>	Italy	113	TRI 10780	<i>T. aestivum</i> L.	<i>aestivum</i>	Greece
50	TRI 4144	<i>T. aestivum</i> L.	<i>aestivum</i>	Italy	114	TRI 10781	<i>T. aestivum</i> L.	lutescens	Greece
51	TRI 4145	<i>T. aestivum</i> L.	<i>aestivum</i>	Italy	115	TRI 10785	<i>T. aestivum</i> L.	<i>aestivum</i>	Greece
52	TRI 4148	<i>T. aestivum</i> L.	<i>aestivum</i>	Italy	116	TRI 11020	<i>T. aestivum</i> L.	lutescens	USA
53	TRI 4149	<i>T. aestivum</i> L.	<i>ferrugineum</i>	Italy	117	TRI 11082	<i>T. aestivum</i> L.	lutescens	Germany
54	TRI 4171	<i>T. aestivum</i> L.	<i>aestivum</i>	Italy					

4.2 Evaluaciones realizadas

Se realizaron evaluaciones de severidad (% de superficie foliar por hoja afectada por la enfermedad) (Figura 4-3) de las enfermedades presentes más importantes EC31, EC60 y grano pastoso (EC80) con muestras de 10 hojas por parcela. Se determinó el área bajo la curva de progreso de las enfermedades, ABCPE (Shanner y Finney, 1977).



Figura 4-3 diagrama de área estándar para evaluación de severidad en hojas de trigo. Los números representan el porcentaje (%) de superficie foliar que muestra síntomas de enfermedad (necrosis y clorosis). (Izquierda) Observación a campo de la severidad de una hoja de trigo. (Derecha)

La cosecha se realizó de manera manual con hoz en tres segmentos de 1 metro lineal por subparcela para determinar rendimiento/m⁻².

Se evaluaron además los componentes del rendimiento: **espigas.m⁻²** (conteo de espigas entre fracciones de 1m lineal de cada subparcela), **granos.espiga⁻¹** (contando granos en 20 espigas por subparcela), **peso de mil granos** (pesando los granos de la determinación anterior).

4.3 Análisis estadístico

Las diferencias en las variables entre los genotipos, en los tratamientos con y sin fungicida se analizaron mediante análisis de varianza (ANOVA) y las medias se compararon mediante LSD ($P=0,05$). Los datos de severidad se transformaron por arcoseno/ $\sqrt{\text{severidad}/100}$ para homogeneizar las varianzas de los tratamientos y normalizar la varianza residual.

5 Resultados

5.1 Datos climáticos

Los datos climáticos fueron obtenidos en la EEJH la cual cuenta con una estación automática DAVIS que registra de manera continua las variables climáticas. Cuenta, además, con estadísticas climáticas de más de 100 años. La distancia entre dicha estación meteorológica y los lotes destinados al ensayo es inferior a 300 metros.

Tabla 5.1 Temperaturas, humedad, Radiación y precipitaciones durante el ciclo del cultivo 2016 y media histórica (periodo 1964-2014)

	Temperatura (°C)		Humedad (%)	Radiación (Watt/m ²)	Precipitación (mm)	
	2016	1964-2014			2016	1964-2014
Junio	8,3	10,6	71	2464	33	54,3
Julio	9,2	10,2	77	-	175	64
Agosto	11,3	11,5	66	-	39,6	61,5
Septiembre	11,9	13,5	78	-	51	69,8
Octubre	15,5	16,5	75	-	102,4	96,4
Noviembre	18,5	19,2	61	5950	66,9	98,4
Diciembre	22,6	22,3	57	6593	133	78,9
	Total		15007		600,9	523,3

Por un lado, se observa, en líneas generales, que el cultivo se desarrolló bajo la exposición a temperaturas medias ligeramente por debajo de las medias históricas registradas, principalmente a partir de encañazón. Por el otro, las precipitaciones fueron significativamente mayores, con valores acumulados para 2016 de 434,9 mm respecto de los registros históricos para el mismo periodo (julio-noviembre) que arrojan 390,1 mm. (Tabla 5.1). En 2016 las mayores precipitaciones se registraron en los meses de julio, octubre y diciembre, con una gran significancia principalmente en el periodo de macollaje durante el mes de julio, que arrojó una cantidad de agua precipitada de más de doble de lo que muestran los registros históricos para dicho mes (Tabla 5.1)

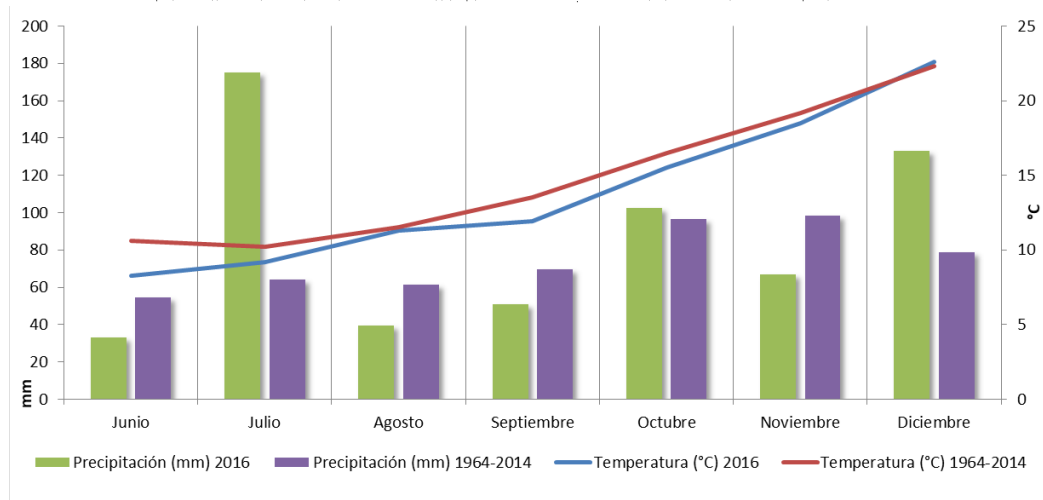


Figura 5-1 Gráfico de temperatura media y precipitaciones durante el ciclo del cultivo vs valores normales (período 1964-2014)

5.2 Severidad

Se observaron, por un lado, diferencias significativas entre tratamientos con y sin fungicidas para severidad en los estadios EC60, EC80, como así también para ABCPE. Por el otro, se presentaron diferencias altamente significativas entre *Genotipos* y para la interacción *Tratamiento × Genotipo* para severidad en los tres estadios evaluados; EC31, EC60, EC80 y para ABCPE (**Tabla 5.2**)

Tabla 5.2 Cuadrados medios, grados de libertad y valor p (ANAVA) para severidad para EC31, EC60, EC82 y área bajo la curva de progreso de la enfermedad (ABCPE) en un ensayo con dos tratamientos de aplicación de fungicida en 103 cultivares de trigo.

Fuente de variación	GL	Severidad EC31	Severidad EC60	Severidad EC80	ABCPE
Tratamiento	1	488,7 (p=0,075)	66693,99 (p <0,001)	9292 (p=0,01)	120798527 (p=0,007)
Error A	1	6,88	25,85	2,52	13777
Genotipo	102	166,3 (p<0,001)	813,79 (p<0,001)	218,5 (p<0,001)	1151439 (p<0,001)
Tratamiento × Genotipo	102	37,40 (p<0,001)	444,77 (p<0,001)	103,2 (p<0,001)	509964 (p<0,001)
Error B	204	10,47	27,04	9,64	38301
Total	411				

La severidad de cada cultivar para los tres estadios analizados y el ABCPE, puede observarse en la Tabla 5.3. En EC31 los valores de severidad para el tratamiento SF variaron entre 0,18% (cv75) y 32,38% (cv15), con una severidad media para todos los genotipos de 11,83%. Por su parte el tratamiento CF varió entre 0% (cv10 y cv59) y 28,07% (cv31), con un promedio de 9,65%. Se puede observar, en líneas generales, que los cultivares tratados presentaron una reducción del 18% en la severidad en EC31 respecto de los testigos (Tabla 5.3). Para la interacción *Tratamiento × Genotipo*, los cinco cultivares que presentaron mayores diferencias entre tratamientos fueron los genotipos 10 (100%), 59 (100%), 13 (95%), 77 (93%) y 16 (88%) (Tabla 5.4). En la Tabla 8.1 (Anexo) se observan los resultados de la comparación múltiple de medias mediante el test de LSD con una diferencia mínima significativa de 6.37 ($p<0,001$). En celeste se encuentran resaltados los genotipos que presentaron menor grado de severidad y que entre si no presentan diferencias significativas (misma letra: Q), mientras que en amarillo se observan aquellos genotipos que sin presentar diferencias significativas arrojaron los mayores niveles de severidad. En líneas generales aquellos genotipos con menor severidad para tratamiento SF como CF indicarían, a priori, un mayor grado de resistencia, variedades: 1, 4, 5, 7, 9, 13, 16, 19, 38, 59, 67, 68, 74, 75, 76, 88, 98, 102, 104, 105, 112, 113, 114 y 116 (Tabla 8.1) (Anexo) Por otro lado encontramos genotipos de bajo nivel de severidad (celeste) con alto nivel de respuesta al tratamiento de fungicida. En cambio, otros con alto nivel de severidad, casi no presentaron respuesta a la aplicación de fungicidas, tal el caso del genotipo 31 (Tabla 8.1) (Anexo)

En EC60 los valores de severidad para el tratamiento SF variaron entre 7.5% (cv113) y 96.67% (cv97), con un promedio de severidad de todos los genotipos de 47.55%. Por otro lado, el tratamiento CF presentó variaciones de entre 6.39% (cv8) y 69.17% (cv41), con una media de 22.10% de severidad. En términos generales, los tratamientos CF produjeron una reducción del 54% en la severidad para EC60 con respecto al tratamiento SF (Tabla 5.3) Los 5 genotipos que presentaron mayores diferencias entre tratamientos fueron los cultivares 8 (93%), 5(92%), 96 (87%), 99 (86%) y 100 (84%) (Tabla 5.4)**Tabla 8.1**) Del análisis de comparación múltiple de medias para una diferencia mínima significativa (LSD) de 10.139 ($p<0,001$) se desprenden algunos resultados relevantes (Tabla 8.2 Anexo). En EC60 no encontramos genotipos con altos

valores de severidad (amarillo; letra **a**) en el tratamiento CF, corroborando la marcada reducción antes expresada respecto de la aplicación de fungicidas. Los genotipos que demostraron una mayor resistencia *per se*, es decir, que arrojaron los valores significativos de menor severidad para ambos tratamientos (color celeste; letra **D**) son cv22, cv102 y cv113. (Tabla 8.2) (Anexo) Otro grupo de genotipos, arrojan valores que, a priori indican una marcada respuesta a la aplicación de fungicidas, ya que para el tratamiento SF se observan altos valores de severidad (amarillo) mientras que para el tratamiento CF los valores resultan significativamente bajos (celeste). Es el caso de las variedades 8, 97, y 100 (Tabla 8.2) (Anexo)

En EC80 los valores de severidad para el tratamiento SF fluctuaron entre 73,5% (cv22) y 100% (cv3, 8, 50, 61, 62, 74, 97, 98 y 100), con un promedio de severidad de todos los genotipos de 91,39%. A su vez, el tratamiento CF varió entre 45,43% (cv17) y 100% (cv97), con una media de 81,84%. En líneas generales, los tratamientos CF presentaron una reducción del 10% en la severidad de EC80 con respecto al tratamiento SF (Tabla 5.3) Los 5 cultivares con mejores resultados, presentando mayores diferencias entre tratamientos son: cv3 (49%), cv17 (40%), cv18 (38%), cv111 (37%) y cv69 (35%) (Tabla 5.4). Del análisis de comparación múltiple de medias para una diferencia mínima significativa (LSD) de 6.099 ($p<0,001$) se desprenden algunos resultados relevantes (Tabla 8.3 Anexo). En EC80 si bien encontramos genotipos con altos valores de severidad (amarillo; letra **a**) en para ambos tratamientos, aquellos que fueron tratados aparecen en baja proporción dentro de este grupo respecto a los no tratados (SF). En EC80 no se encontraron genotipos significativamente bajos (celes; letra **O**) para el tratamiento SF (Tabla 8.3) (Anexo) Para EC80 el cv3, se destaca, a priori, por indicar una marcada respuesta a la aplicación de fungicidas, ya que para el tratamiento SF se observó un alto valor de severidad (amarillo) mientras que para el tratamiento CF el valor resultó significativamente bajo (celeste). (Tabla 8.3) (Anexo)

Para ABCPE, los tratamientos SF arrojaron un valor promedio de 3075, mientras que para CF el valor de la media fue de 1989, demostrando una disminución promedio en el progreso de la enfermedad del 35%. Respecto al comportamiento sanitario de los cultivares, para el tratamiento SF, los que mostraron mejores performance fueron: cv22 (1594), cv68 (1604), cv76 (1746), cv92 (1768) y cv53 (1772), mientras que; los genotipos 97 (5338), 100 (4842), 60 (4751), 41 (4741) y 8 (4709) arrojaron los valores más altos de

ABCPE. Para tratamientos CF, los genotipos con mejores comportamientos sanitarios resultaron ser: 59 (1153), 92 (1267), 22 (1283), 76 (1294) y 68 (1315), mientras que los valores más altos de ABCPE corresponden a cv41 (3516), cv56 (3232), cv36 (2954), cv47 (2830) y cv15 (2746). (Tabla 5.3) Por otro lado, para la interacción *Tratamiento × Genotipo* se observó que los genotipos 5 (61%), 67 (60%), 99 (60%), 59 (59%) y cv8 y cv25 (58%) presentaron las mayores disminuciones porcentuales ante la aplicación de fungicidas, en tanto que los genotipos 56, 90, 15, 6 y 42 presentaron las menores. (Tabla 5.4)

Tabla 5.3 LSD, Medias y porcentaje de disminución entre tratamientos sin fungicidas (SF) y con fungicidas (CF) para severidad en EC31, EC60, EC80 y ABCPE para 103 variedades de trigo.

CV	Severidad EC31 (%)			Severidad EC60 (%)			Severidad EC80 (%)			ABCPE		
	SF	CF	dism.	SF	CF	dism.	SF	CF	dism.	SF	CF	dism.
1	1,61	0,46	71%	62,22	30,28	51%	89,61	85,05	5%	3350	2250	33%
2	8,69	9,32	-7%	43,89	30,56	30%	89,61	87,67	2%	2944	2403	18%
3	19,24	10,99	43%	38,61	21,11	45%	100	50,98	49%	3318	1829	45%
4	4,14	5,64	-36%	81,39	13,33	84%	93,8	87,72	6%	4303	1993	54%
5	4,99	4,94	1%	82,78	6,39	92%	90,5	85,5	6%	4518	1766	61%
6	9,43	5,96	37%	39,72	41,39	-4%	96,83	92,17	5%	2569	2483	3%
7	3,56	2,86	20%	78,61	21,94	72%	89,61	86,28	4%	3351	1490	56%
8	8,9	5,01	44%	86,67	6,39	93%	100	97,43	3%	4709	1995	58%
9	0,78	0,78	0%	85,75	25,56	70%	86,83	89,61	-3%	4028	2142	47%
10	11,2	0	100%	78,89	45,28	43%	89,61	89,61	0%	3137	1750	44%
11	10,81	5,67	48%	41,94	22,5	46%	98,86	91,22	8%	3149	2336	26%
12	13,59	13,18	3%	51,94	22,5	57%	98	94,66	3%	3459	2529	27%
13	3,7	0,18	95%	48,89	34,17	30%	88	86	2%	2403	1817	24%
14	8,59	2,34	73%	22,5	16,11	28%	98,5	90,22	8%	2046	1636	20%
15	32,38	18,07	44%	21,11	27,78	-32%	89,11	90,5	-2%	2762	2746	1%
16	1,48	0,18	88%	36,94	28,06	24%	88,3	89,5	-1%	2519	2206	12%
17	28,07	17,93	36%	25,69	13,33	48%	75,98	45,43	40%	2659	1602	40%
18	19,74	22,24	-13%	30	24,72	18%	90	56	38%	3046	2163	29%
19	3,28	5,64	-72%	66,67	35,83	46%	89,61	87,5	2%	2963	1990	33%
20	18,73	5,67	70%	69,44	26,11	62%	89,61	87,94	2%	4099	2234	45%
21	6,51	10,54	-62%	61,39	52,5	14%	89,61	74,05	17%	2939	2575	12%
22	12,07	13,04	-8%	14,44	9,72	33%	73,5	66,5	10%	1594	1283	20%
23	24,94	5,01	80%	26,94	9,72	64%	93,83	82,44	12%	2496	1336	46%
24	14,53	26,4	-82%	25	17,78	29%	82,15	63,55	23%	2263	1853	18%
25	22,62	10,95	52%	62,5	12,5	80%	82,5	75,5	8%	3480	1454	58%
26	13,28	10,15	24%	36,39	17,5	52%	97	95,17	2%	2635	1856	30%
27	12,89	12,34	4%	36,11	16,67	54%	84,25	71,33	15%	2387	1609	33%
28	5,12	12,34	-141%	29,58	15,83	46%	95,5	73,72	23%	2219	1611	27%
29	16,19	9,18	43%	20,56	13,06	36%	96,5	75	22%	2161	1431	34%
30	19,14	16,64	13%	65,83	24,72	62%	89,61	88,22	2%	3978	2424	39%
31	30,78	28,07	9%	86,11	34,44	60%	84,15	78,78	6%	4661	2486	47%
32	20,78	13,07	37%	52,78	26,11	51%	89,5	64,1	28%	3804	2146	44%
33	22,1	14,46	35%	45,28	19,17	58%	99,15	88,65	11%	3582	2425	32%

34	19,74	8,9	55%	69,17	18,89	73%	89,61	89,61	0%	4238	2042	52%
35	14,7	14,68	0%	42,22	11,11	74%	87,78	85,78	2%	2690	1653	39%
36	28,76	24,88	13%	69,44	46,39	33%	89,61	88,67	1%	3962	2954	25%
37	26,92	23,03	14%	48,33	19,72	59%	84,89	83,75	1%	3447	2309	33%
38	5,39	5,12	5%	79,44	14,17	82%	95,15	84,67	11%	4261	1950	54%
39	7,24	6,96	4%	38,61	25,56	34%	95,56	83,5	13%	3015	2305	24%
40	7,62	7,48	2%	46,67	30,56	35%	89,61	84,67	6%	2458	1849	25%
41	18,21	12,65	31%	82,92	69,17	17%	94,8	85,5	10%	4741	3516	26%
42	8,73	13,46	-54%	40,83	33,06	19%	89,61	89,05	1%	2828	2646	6%
43	4,29	6,93	-62%	37,5	23,89	36%	89,61	88	2%	2624	2184	17%
44	7,65	8,07	-5%	48,06	19,44	60%	96	92,78	3%	2908	1829	37%
47	10,95	8,87	19%	51,11	42,08	18%	89,61	85,3	5%	3272	2830	14%
48	6,89	5,23	24%	68,61	27,78	60%	89,61	88,19	2%	3105	1733	44%
49	6,07	8,07	-33%	20	9,72	51%	91,5	68	26%	2363	1523	36%
50	19,7	14,56	26%	25,28	8,33	67%	100	95,22	5%	2368	1676	29%
51	5,67	4,28	25%	51,94	24,72	52%	89,5	82,69	8%	2611	1513	42%
52	15,99	10,15	37%	51,94	24,72	52%	90,5	79	13%	3223	1865	42%
53	3,03	17,76	-486%	20,83	9,72	53%	86,94	59	32%	1772	1348	24%
54	6,92	10,54	-52%	43,61	33,06	24%	85,5	81,47	5%	2915	2456	16%
55	9,57	11,54	-21%	31,94	13,89	57%	98	92,37	6%	2402	1734	28%
56	12,76	18,87	-48%	42,22	46,67	-11%	89,61	89,61	0%	2957	3232	-9%
57	7,76	3,39	56%	30,42	15,56	49%						
58	15,92	7,03	56%	69,44	40,28	42%	89,61	86,42	4%	2955	1770	40%
59	6,2	0	100%	71,67	26,67	63%	89,61	88,22	2%	2779	1153	59%
60	7,44	10,01	-35%	89,44	17,22	81%	95	90,77	4%	4751	2323	51%
61	20,26	24,42	-21%	26,39	12,78	52%	100	76,22	24%	2828	2056	27%
62	21,78	17,34	20%	46,39	18,33	60%	100	98	2%	3073	2044	33%
63	8,59	9,71	-13%	55,83	12,78	77%	89,61	86,3	4%	3343	1795	46%
64	14,53	7,86	46%	48,33	38,89	20%	88,55	72,94	18%	2613	2008	23%
65	11,78	24,98	-112%	33,89	18,33	46%	89,61	86,55	3%	2670	2349	12%
66	12,34	6,23	50%	49,17	37,36	24%	89,61	84,94	5%	3188	2591	19%
67	2,48	2,2	11%	73,06	15,33	79%	83,5	58,32	30%	3841	1550	60%
68	2,06	6,23	-202%	13,61	19,17	-41%	84,5	56,5	33%	1604	1315	18%
69	8,03	4,42	45%	82,5	35,42	57%	96	62,44	35%	3943	1939	51%
70	8,32	5,26	37%	45	25,56	43%	89,61	81,55	9%	2964	2115	29%
71	8,46	22,48	-166%	31,67	19,17	39%	97	94,11	3%	2330	2137	8%
72	9,14	6,37	30%	26,67	22,22	17%	88,3	81,44	8%	2353	2015	14%
73	3,04	7,48	-146%	61,39	33,89	45%	84,5	77,75	8%	2854	1855	35%
74	4,98	5,53	-11%	55,56	19,17	65%	100	98,5	2%	3034	1888	38%
75	0,18	0,64	-256%	35,28	29,03	18%	91	79,92	12%	2432	2086	14%
76	4,84	3,87	20%	15,28	10	35%	97,5	77,67	20%	1746	1294	26%
77	18,87	1,23	93%	40,83	12,08	70%	95,15	85,5	10%	2792	1412	49%
88	3,42	1,61	53%	88,61	21,67	76%	84,5	83,94	1%	4206	1950	54%
89	17,24	12,24	29%	14,44	10,56	27%	98	93,5	5%	2499	2088	16%
90	16,4	12,24	25%	9,44	9,44	0%	76,81	80,98	-5%	1952	1950	0%
92	11,64	8,45	27%	13,06	11,39	13%	83	72,22	13%	1768	1267	28%
93	18,63	9,74	48%	39,72	13,06	67%	95,5	85,94	10%	2902	1595	45%
94	19,14	13,17	31%	57,5	34,44	40%	98,5	95,67	3%	3372	2477	27%
95	15,15	26,19	-73%	47,22	31,94	32%	90,5	76,5	15%	3482	2645	24%
96	16,82	11,4	32%	73,06	9,17	87%	97	93,5	4%	4409	2015	54%
97	23,63	11,4	52%	96,67	16,39	83%	100	100	0%	5338	2382	55%
98	3,06	2,89	6%	49,44	18,61	62%	100	94,67	5%	3279	2223	32%
99	16,26	7,65	53%	66,94	9,17	86%	95,65	75	22%	4190	1679	60%

100	21,37	12,21	43%	94,44	14,72	84%	100	97,22	3%	4842	2255	53%
102	3,59	5,12	-43%	14,17	9,44	33%	95,55	76,32	20%	2266	1668	26%
103	12,93	9,32	28%	49,72	8,61	83%	84,3	66,5	21%	3442	1470	57%
104	2,62	6,09	-132%	63,06	28,61	55%	92,65	88,5	4%	3629	2421	33%
105	1,85	0,85	54%	66,94	29,44	56%	91,15	70,5	23%	3583	2009	44%
106	25,85	10,29	60%	33,89	6,81	80%	97	65,5	32%	3273	1428	56%
107	18,63	16,82	10%	21,94	12,22	44%	91,8	79,93	13%	2715	2045	25%
108	9,57	8,04	16%	53,89	33,61	38%	89,8	65,5	27%	3377	2171	36%
109	15,85	8,9	44%	32,5	25,28	22%	91,5	65,99	28%	3063	2112	31%
110	16,68	14,74	12%	30,83	15,56	50%	91,77	88,38	4%	2955	2217	25%
111	9,14	3,59	61%	21,11	17,5	17%	94,59	59,31	37%	2465	1715	30%
112	4,28	3,45	19%	40,56	15,83	61%	85,8	76,45	11%	2927	1801	38%
113	3,45	5,95	-72%	7,5	11,11	-48%	97	82,99	14%	2064	1885	9%
114	4,42	2,89	35%	33,61	13,06	61%	89	85,6	4%	2752	1949	29%
115	7,76	10,95	-41%	21,39	10,56	51%	95,5	91,22	4%	2012	1555	23%
116	3,07	2,65	14%	15,83	10,83	32%	83,65	77,5	7%	2059	1693	18%
117	18,45	17,16	7%	70,56	32,22	54%	89,61	89,61	0%	3055	1483	51%
Media tratamientos	11,83a	9,65b	18%	47,55b	22,10b	54%	91,39a	81,84b	10%	3075a	1989b	35%
LSD trat.	3,283 nsig			1,016			1,996			146		
LSD cv×trat	6,37			10,139			6,099			384		

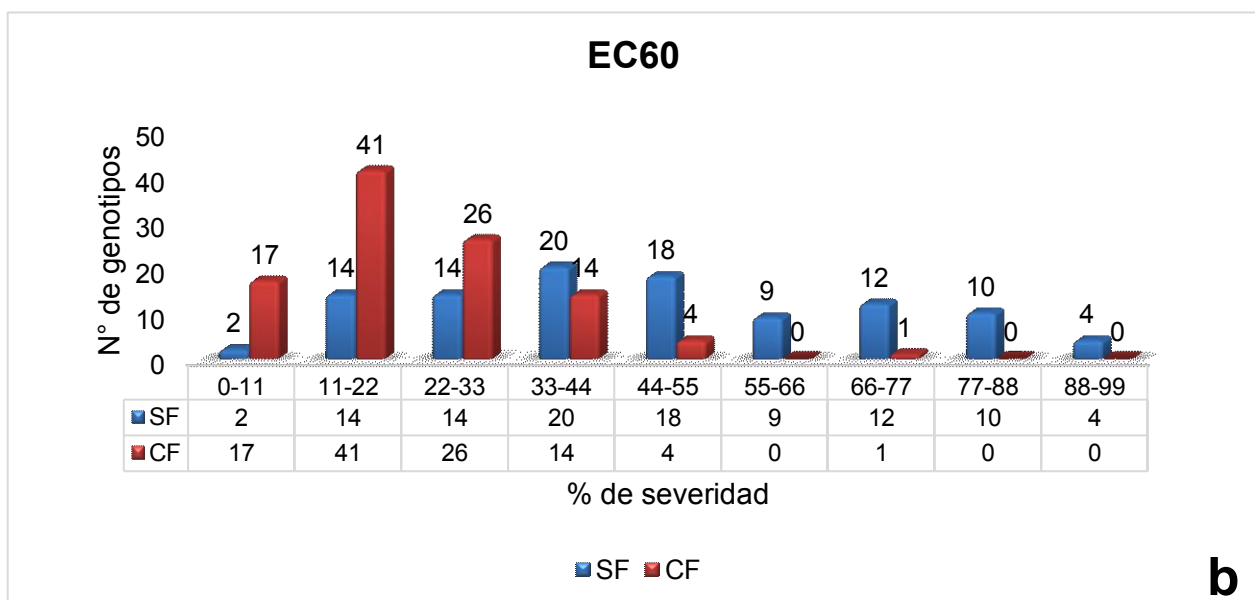
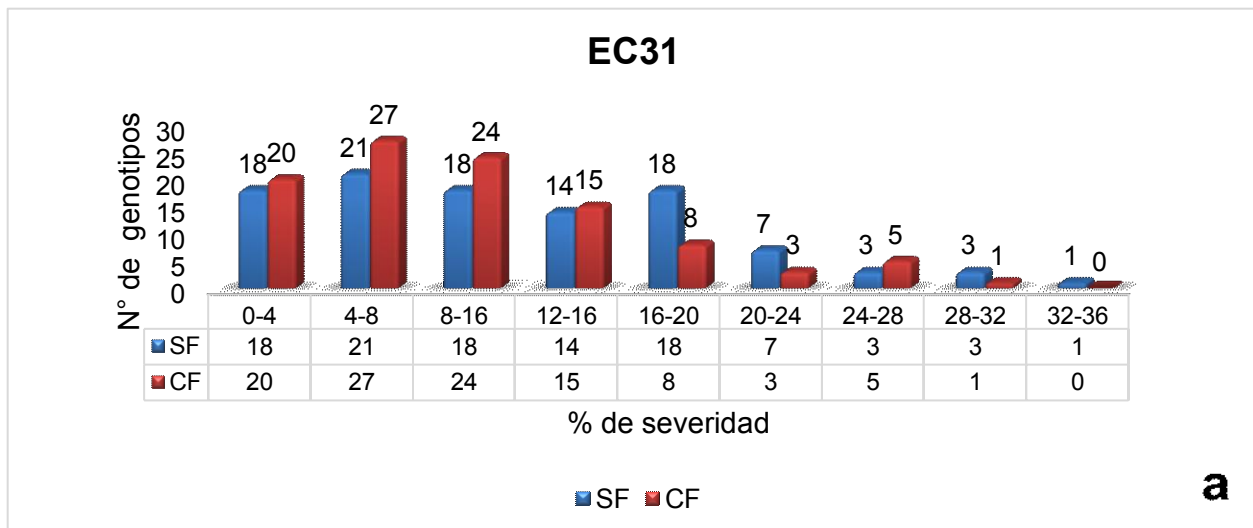
En Rojo se marcan los casos que presentan el mayor valor de severidad y en color verde el menor grado de severidad.

Tabla 5.4 Genotipos con mayores disminuciones de severidad entre tratamientos de fungicidas en EC31, EC60 y EC80 y ABCPE.

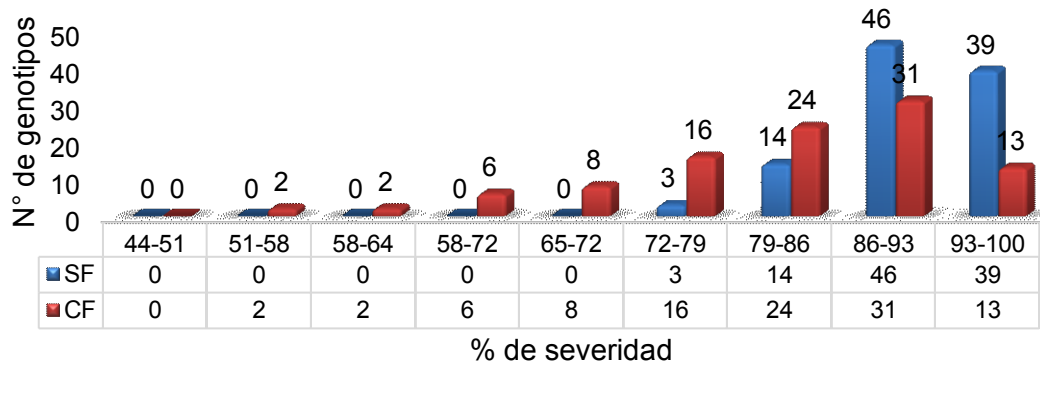
	EC31		EC60		EC80		ABCPE	
	Cv	dism.	cv	dism.	cv	dism.	cv	dism.
Mayores diferencia entre tratamientos	59	100%	8	93%	3	49%	5	61%
	10	100%	5	92%	17	40%	67	60%
	13	95%	96	87%	18	38%	99	60%
	77	93%	99	86%	111	37%	59	59%
	16	88%	100	84%	69	35%	8	58%

En la Figura 5-2 se observan histogramas de distribución de frecuencias para intervalos crecientes de severidad para EC31, EC60, EC80 y ABCPE de manera comparada entre tratamientos, SF (azul) y CF (bordó). Por un lado, permite observar de manera indirecta el avance de la enfermedad a lo largo del ciclo del cultivo. En EC31, la mayor parte de los genotipos, para ambos tratamientos, se ubican hacia la izquierda del histograma (Figura 5-2a) con un 62% de ellos en el primer tercio, evidenciando niveles bajos de severidad (Tabla 5.5) En EC60 (Figura 5-2b) comienza a notarse un ligero avance hacia la derecha del histograma. Para EC80 el 82% de los genotipos se ubica en el último tercio de intervalos, hacia la derecha del histograma. (Figura 5-2c) (Tabla 5.5)

Por el otro, se observa una fuerte tendencia hacia la derecha para los tres estadios y ABCPE, de los genotipos bajo tratamiento SF (azules), poniendo de manifiesto la mayor severidad respecto al tratamiento CF(bordó).

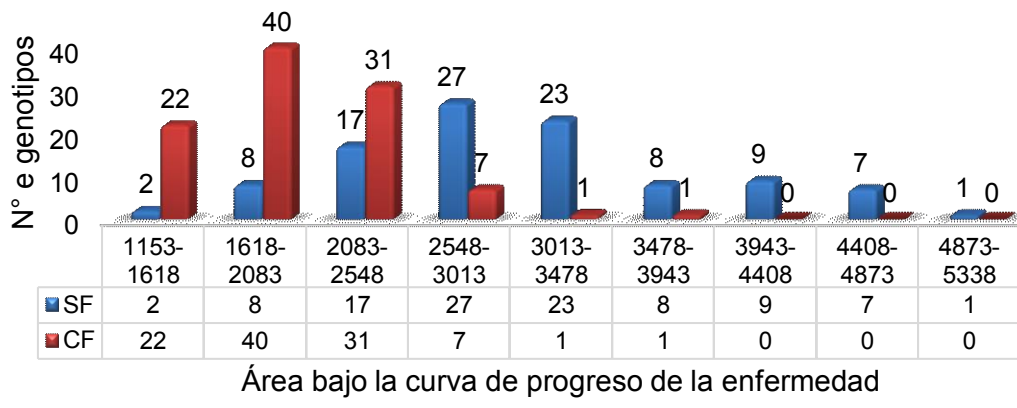


EC80



C

ABCPE



d

Figura 5-2 Histograma de distribución de frecuencias de severidad y ABCPE para los tratamientos SF (azul) y CF (Bordo) en forma comparada para 9 intervalos* crecientes y en: a. EC31 b. EC60 c. EC80 y d. ABCPE.
 * $1+3,322 \cdot \log_{10}(206)=8.7 \approx 9$

Tabla 5.5 Genotipos por tratamiento, total y porcentaje en primero, segundo y tercer tercio de intervalos de severidad analizados.

	EC31				EC60				EC80			
	SF	CF	Total	%	SF	CF	Total	%	SF	CF	Total	%
1er tercio	57	71	128	62	30	84	114	56	0	4	4	2
2do tercio	39	26	65	32	47	18	65	32	3	30	33	16
3er tercio	7	6	13	6	26	1	27	13	99	68	167	82

5.3 Rendimiento y sus componentes

Se observaron, por un lado, diferencias significativas entre los tratamientos CF y SF para rendimiento, NG/esp y PMG. Por otro lado, los Genotipos presentaron diferencias altamente significativas para todas las variables analizadas, mientras que para la interacción Tratamiento × Genotipo hubo diferencias significativas en Nespm² y altamente significativas en rendimiento, NG/espiga y PMG (**Tabla 5.6**)

Tabla 5.6 Cuadrados medios, grados de libertad y valor p (ANOVA) para rendimiento y número de espigas por metro cuadrado (Nesp/m²), número de granos por espiga (NG/esp) y peso de mil granos (PMG) para campaña 2016 en un ensayo con dos tratamientos con y sin aplicación de fungicidas en 103 variedades de trigo.

Fuente de variación	GL	Rendimiento	Nesp/m ²	NG/esp	PMG
Tratamiento	1	7170E+08 (p=0,026)	1358464 (p=0,065)	928163 (p=0,05)	5301774 (p=0,002)
Error A	1	1219E+06	14076	5786	0,04
Genotipo	102	9632E+06 (p<0,001)	54308 (p<0,001)	118561 (p<0,001)	300483 (p<0,001)
Tratamiento × Genotipo	102	4383E+06 (p<0,001)	21485 (p=0,014)	33700 (p<0,001)	31931 (p<0,001)
Error B	204	1732E+06	14906	4668	5272
Total	411				

El comportamiento de los cultivares para rendimiento y sus componentes puede observarse en la Tabla 5.7. Los valores obtenidos para el tratamiento SF variaron entre 632 kg/ha (cv21) y 7868 kg/ha (cv29), con un rendimiento medio de 3837 kg/ha, mientras que en los cultivares expuestos al tratamiento CF, la variación estuvo entre 1299 kg/ha (cv57) y 12688 (cv2) kg/ha, con un promedio de 6475 kg/ha. La aplicación de fungicidas provocó, en líneas generales, un incremento promedio del 69% respecto de aquellos bajo tratamiento SF (Tabla 5.7). Los cultivares que presentaron mejores comportamientos o respuesta a la utilización de fungicidas fueron los genotipos 37 (550%), 21 (528%), 36 (417%), 30 (407%) y 98 (327%) (Tabla 5.8). En la **Tabla 8.4** (anexo) se observan los resultados de la comparación múltiple de medias con un valor de LSD de 2590,8 kg/ha (p<0,05). En celeste se encuentran resaltados los genotipos que presentaron menores

rendimientos y que a su vez no presentan diferencias significativas entre sí (misma letra: **b**), mientras que en amarillo se observan aquellos genotipos que sin presentar diferencias significativas entre ellos arrojaron los mejores rendimientos (misma nivel de significancia, letra **a**). En líneas generales aquellos genotipos que presentan color celeste tanto para tratamiento SF como CF indicarían, a priori, que se trata tanto de variedades con bajo potencial de rendimiento *per se*, así como baja respuesta a la aplicación de fungicidas. Es el caso de las variedades: 5,10, 58, 66, 107, 112 y 117 (**Tabla 8.4**) (Anexo) Encontramos, por otro lado que el tratamiento con fungicidas fue altamente determinante, pues los mejores rendimientos (color amarillo) se encuentran todos en este grupo CF. Los cultivares con mejor rendimiento fueron: 2, 28, 41, **64**, 75 y 103. El cv 64 se destacó por ser el que mejor respuesta o performance demostró ante la aplicación de fungicidas ya que el tratamiento SF se encuentra en el grupo de los que obtuvo menores rendimientos (celeste; letra **b**) mientras que para el tratamiento CF se ubicó en los de mejor performance (amarillo; letra **a**). (**Tabla 8.4**) (anexo)

En el componente de rendimiento *espigas por m²* (*Nesp/m²*), para el tratamiento sin aplicación o testigo (SF), los valores variaron entre 234 espigas/m² (cv100) y 822 espigas/m² (cv99), con un número de espigas promedio de 488 espigas/m², mientras que para el tratamiento CF variaron entre 320 (cv100) y 1047 esp/m² (cv69), y una media de 603 espigas/m². En promedio, el tratamiento CF arrojó incrementos del 24% para esta variable respecto al tratamiento SF. (**Tabla 5.7**) Los cultivares que presentaron mejor comportamiento ante la aplicación de fungicidas fueron los genotipos 94 (110%), 34 (109%), 103 (106%), 64 (100%) y 96 (89%) (**Tabla 5.8**). En la **Tabla 8.5** (Anexo) se observan los resultados de la comparación múltiple de medias con un valor de LSD de 240,65 espigas por m². En celeste se encuentran resaltados los genotipos que presentaron menor cantidad de espigas por m² y que a su vez no presentan diferencias significativas entre sí (misma letra: **φ**), mientras que en amarillo se observan aquellos genotipos que sin presentar diferencias significativas entre ellos arrojaron los mejores valores para este componente (misma nivel de significancia, letra **a**). Los genotipos que presentaron menor generación de espigas por m² para ambos tratamientos (celeste en SF y CF) fueron: 9, 23, 25, 31, 59, 92, 98, 100, 108, 112 y 116. Dentro de los mejores valores significativos respecto a este componente, se destacó, por un lado, el cv 99, único que demostró una importante generación de espigas *per se*, es decir, para el tratamiento SF, mientras que por el otro, la gran mayoría de resultados satisfactorios se obtuvieron en CF.

Cultivares destacados: 2, 52, 62, **64**, 69, 70, 72, 95, 102 y **103**. Los genotipos 95, 102 presentaron muy buena performance para ambos tratamientos y los cv 64 y 103, se destacaron por arrojar las mejores respuestas a la aplicación de fungicidas respecto a este componente de rendimiento, ya que para SF se encontraban dentro de los peores resultados (celeste) mientras que para CF se ubicaron junto a los de mejor performance (amarillo). (**Tabla 8.5**) (Anexo)

Para el componente NG/espiga, en el tratamiento SF, los valores obtenidos oscilaron entre 10,45 granos/espiga (cv21) y 37,55 granos/espiga (cv41), con una media de 25,33 granos/espiga, mientras que para el tratamiento CF el rango quedó determinado por un mínimo de 11,85 (cv107) y el máximo de 47,28 (cv64) granos/espiga, con un promedio de 28,34 granos/espiga (**Tabla 5.7**). En promedio, el tratamiento CF provocó incrementos del 12% respecto al tratamiento SF. Los cultivares 21 (188%), 37 (125%), 36 (89%), 24 (81%) y 92 (61%) (**Tabla 5.8**) fueron los que presentaron las mayores respuestas a la aplicación de fungicidas. En la **Tabla 8.6** (Anexo) se observan los resultados de la comparación múltiple de medias, con valores de LSD de 4,265 granos/espiga. En celeste se encuentran resaltados los genotipos que presentaron, menor cantidad de granos/espigas y que además no presentan diferencias significativas entre sí (misma letra: **III**), mientras que en amarillo se observan aquellos genotipos que sin presentar diferencias significativas entre sí, arrojaron los valores más altos para este componente (misma nivel de significancia, letra **a**). Los valores más altos (amarillo) los presentaron los genotipos 64, 37 y 31 en el tratamiento CF, mientras que las más baja performance la arrojaron para CF los genotipos 112 y 107; para SF el genotipo 21; y se destaca negativamente el cv 57 cuya baja performance atraviesa ambos tratamientos. (**Tabla 8.6**) (Anexo)

Por último, para el PMG, el tratamiento SF, mostró que los valores obtenidos variaron entre 11,83 (cv117) y 49,34 g (cv115), con un promedio de 31,6 g, mientras que para el tratamiento CF esa oscilación se da entre 12,85 (cv117) y 60,67g (cv35), con una media de 38,78 g. En promedio, el tratamiento CF provocó incrementos del 23% en el PMG respecto al tratamiento SF (**Tabla 5.7**) Los cultivares que presentaron mayores respuestas a la utilización de fungicidas fueron los genotipos 30 (130%), 31 (123%), 40 (90%), 98 (90%) y 9 (86%) (**Tabla 5.8**). En la **Tabla 8.7** (Anexo) se observan los resultados de la comparación múltiple de medias con un valor de LSD de 4.505g. En

celeste se encuentran resaltados los genotipos que presentaron menores PMG y que a su vez no presentan diferencias significativas entre sí (misma letra: **w**), mientras que en amarillo se observan aquellos genotipos que sin presentar diferencias significativas entre ellos arrojaron los mayores valores de PMG (mismo nivel de significancia, letra **a**). En líneas generales aquellos genotipos que presentan color celeste para ambos tratamientos indicarían que presentan menor eficiencia de llenado de grano *per se*, así como baja respuesta a la aplicación de fungicidas, como es el caso de las variedades: 57 y 117 (**Tabla 8.7**) (Anexo) Encontramos, por otro lado, para este componente un solo resultado significativamente importante, y lo arroja la el genotipo 35 con aplicación de fungicidas.

(Tabla 8.7) (Anexo)

Tabla 5.7 Medias y porcentaje de aumento entre tratamientos sin fungicidas (SF) y con fungicidas (CF) para Rendimiento (Kg/ha) y sus componentes: Nesp.m², NG/esp y PMG (g) para 103 variedades de trigo.

CV	Rendimiento (Kg.ha ⁻¹)			Nesp/m ²			NG/esp			PMG (g)		
	SF	CF	aum.	SF	CF	aum.	SF	CF	aum.	SF	CF	aum.
1	5455	5092	-7%	490	431	-12%	36,45	31,58	-13%	30,58	37,4	22%
2	4571	12688	178%	538	900	67%	26,08	33	27%	32,66	42,81	31%
3	4306	4598	7%	623	488	-22%	29,65	25,62	-14%	23,94	36,77	54%
4	5085	8119	60%	679	669	-1%	30,24	37,1	23%	24,65	31,71	29%
5	2830	2711	-4%	702	564	-20%	21	21	0%	19,19	22,91	19%
6	3572	4746	33%	322	517	61%	30,06	23	-23%	36,84	40,18	9%
7	2351	6952	196%	389	615	58%	30,48	39,4	29%	20,07	28,19	40%
8	4270	8542	100%	496	592	19%	23,93	30,13	26%	35,02	50,25	43%
9	1665	4555	174%	378	360	-5%	24,53	36,58	49%	18,57	34,58	86%
10	1713	2541	48%	497	455	-8%	23,43	26	11%	14,73	21,44	46%
11	3619	5954	65%	469	519	11%	20,46	25,03	22%	37,55	45,99	22%
12	2586	4392	70%	482	534	11%	25,45	26,75	5%	21,06	31,05	47%
13	3265	7099	117%	476	704	48%	28,9	30,68	6%	23,67	32,81	39%
14	4604	7567	64%	415	632	52%	31	28,25	-9%	35,8	42,42	18%
15	2916	6699	130%	363	551	52%	27,58	26,65	-3%	30,03	45,76	52%
16	4345	6051	39%	528	704	33%	28,23	27,68	-2%	29,24	31,09	6%
17	3814	7305	92%	289	532	84%	31,95	30,7	-4%	41,33	44,34	7%
18	3742	5931	58%	487	693	42%	26,65	25,75	-3%	28,62	32,93	15%
19	4040	7026	74%	548	711	30%	25,53	31,25	22%	28,92	31,68	10%
20	4379	6051	38%	611	671	10%	23,34	24,03	3%	30,76	37,43	22%
21	632	3969	528%	291	520	79%	10,45	30,13	188%	20,66	25,36	23%
22	5436	4396	-19%	517	385	-26%	23,52	27,45	17%	44,22	42,26	-4%
23	3858	6084	58%	437	472	8%	20,1	23,5	17%	43,8	54,81	25%
24	2183	8888	307%	481	606	26%	18,4	33,25	81%	24,69	44,13	79%
25	3928	4851	23%	419	457	9%	24,2	25,13	4%	39,07	42,65	9%
26	4729	5044	7%	544	572	5%	27,2	22,4	-18%	31,98	40,35	26%

27	3804	6859	80%	412	506	23%	26,08	27,68	6%	35,36	49,07	39%
28	6590	9003	37%	457	514	12%	35,05	39,13	12%	40,88	44,83	10%
29	7868	10823	38%	579	787	36%	33,55	32,6	-3%	39,95	42,17	6%
30	1380	6993	407%	378	691	83%	24,98	29,83	19%	14,74	33,89	130%
31	1576	6122	288%	336	397	18%	28,75	43,65	52%	16,26	36,2	123%
32	4630	7626	65%	581	626	8%	28,01	33,28	19%	28,46	36,84	29%
33	2135	6752	216%	376	604	61%	25,15	31,5	25%	22,63	35,5	57%
34	2696	8682	222%	297	621	109%	34,33	38,7	13%	26,29	36,41	38%
35	4598	8751	90%	477	588	23%	23,98	24,25	1%	40,06	60,67	51%
36	1469	7601	417%	504	760	51%	18,25	34,55	89%	15,81	29,11	84%
37	1381	8976	550%	343	588	71%	20,35	45,8	125%	19,88	33,18	67%
38	3597	8634	140%	514	642	25%	23,2	32	38%	29,86	42,03	41%
39	2684	5624	110%	360	517	44%	19,03	28,35	49%	38,85	38,45	-1%
40	2483	4850	95%	749	531	-29%	24,88	37,23	50%	12,95	24,66	90%
41	3816	10114	165%	424	798	88%	37,55	38,83	3%	24,18	32,65	35%
42	3504	6324	80%	329	483	47%	27,25	28,83	6%	39,15	45,41	16%
43	5743	7273	27%	599	529	-12%	25,9	31,65	22%	37,06	43,44	17%
44	4298	6846	59%	520	486	-7%	24,95	32,3	29%	33,07	43,62	32%
47	3916	6868	75%	337	492	46%	26,4	27,1	3%	44,87	51,5	15%
48	6688	7885	18%	514	471	-8%	36,73	33,75	-8%	35,34	49,12	39%
49	3417	4092	20%	421	481	14%	19,77	18,54	-6%	41	45,75	12%
50	4236	7876	86%	520	676	30%	23,83	26,58	12%	34,05	43,75	28%
51	3961	4763	20%	697	544	-22%	21,95	23,53	7%	25,84	37,31	44%
52	6768	7664	13%	620	837	35%	25,6	23,75	-7%	42,71	38,99	-9%
53	7165	8519	19%	612	667	9%	28,68	27,53	-4%	40,78	46,27	13%
54	2884	7269	152%	398	595	49%	29,63	36,18	22%	24,59	33,82	38%
55	3779	8050	113%	649	703	8%	22,18	28,1	27%	26,05	40,75	56%
56	2640	6385	142%	390	522	34%	33,18	36,93	11%	19,53	33	69%
57	1117	1299	14%	632	616	-3%	14,66	14,66	0%	12,07	14,39	16%
58	2227	5574	150%	656	747	14%	22,55	26,88	19%	15,07	27,83	85%
59	1157	4557	294%	285	460	61%	22,93	36,68	60%	17,69	27	53%
60	4914	7554	54%	401	536	34%	27,99	29,58	6%	43,98	48,17	10%
61	2224	3712	67%	421	550	31%	17,9	21,68	21%	29,63	31,68	7%
62	3030	8035	165%	561	829	48%	20,65	26,9	30%	26,05	36,1	39%
63	3553	3685	4%	673	589	-12%	23,56	23,99	2%	22,64	26,1	15%
64	3046	10511	245%	418	837	100%	34,35	47,28	38%	21,19	26,65	26%
65	2488	6892	177%	406	640	58%	26,63	27,73	4%	22,62	38,8	72%
66	2907	3157	9%	600	607	1%	21,28	17,7	-17%	22,77	29,44	29%
67	3509	6462	84%	545	776	42%	21,05	17,96	-15%	30,71	46,36	51%
68	6741	6720	0%	515	473	-8%	30,78	29,48	-4%	42,56	48,2	13%
69	4318	8775	103%	674	1047	55%	24,43	25,87	6%	26,33	32,23	22%
70	4476	9622	115%	532	988	86%	32,85	29,3	-11%	25,64	33,29	30%
71	6388	6809	7%	472	544	15%	32,28	27,45	-15%	42,27	45,15	7%
72	3462	9576	177%	506	819	62%	25,02	34,68	39%	26,94	33,8	25%
73	4956	5810	17%	702	708	1%	31,18	25,48	-18%	22,9	32,2	41%
74	5292	6219	18%	515	591	15%	23,08	23,43	2%	44,57	44,72	0%

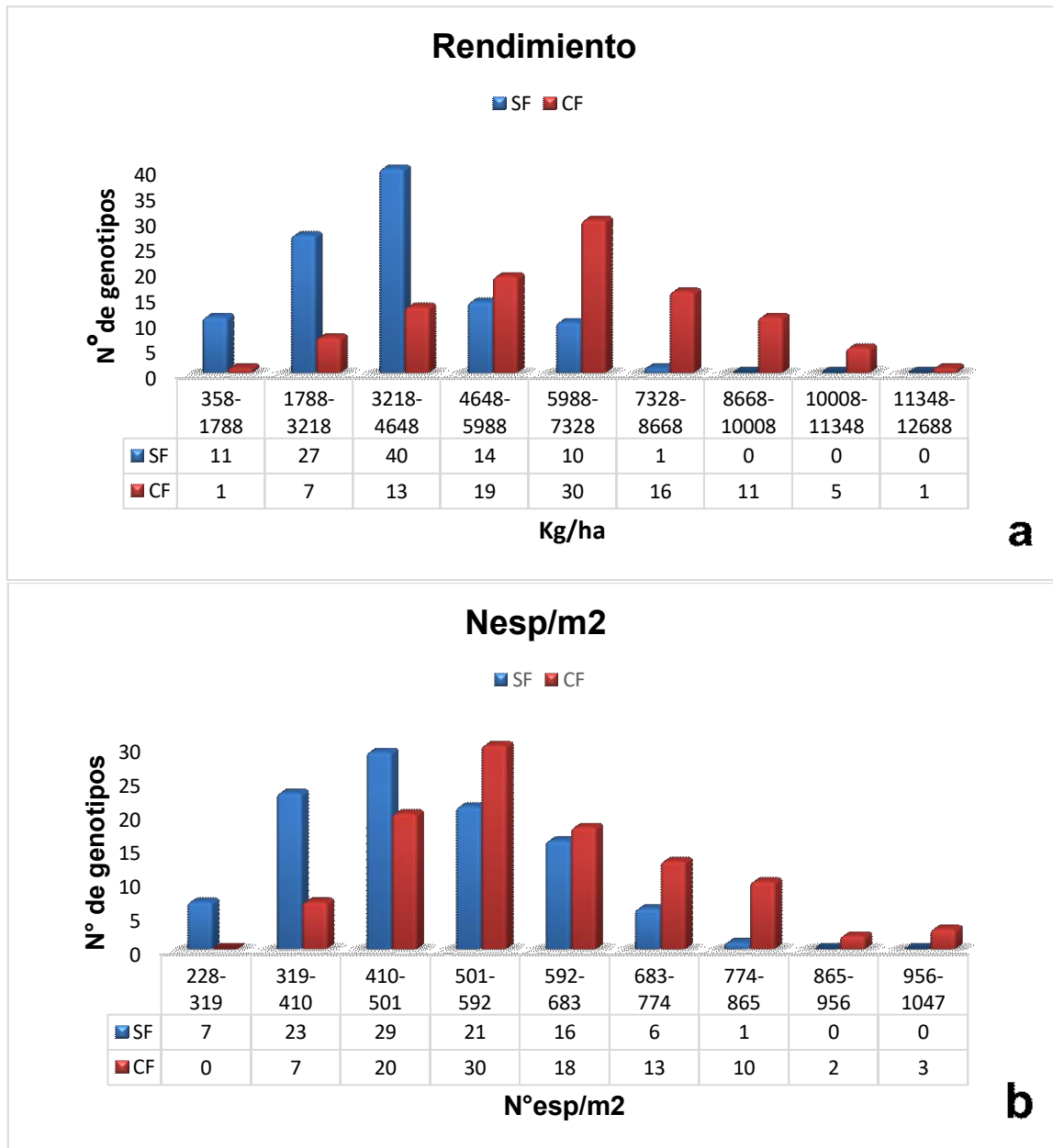
75	3738	10374	178%	391	705	80%	34,39	36,28	5%	27,63	40,05	45%
76	3214	5649	76%	610	713	17%	24,85	26,3	6%	21,34	30,12	41%
77	6729	6832	2%	644	654	2%	28,79	26,75	-7%	36,32	38,41	6%
88	4571	8044	76%	656	966	47%	30,75	30,8	0%	22,69	27,04	19%
89	2741	4007	46%	366	514	40%	21,53	20,15	-6%	34,04	38,49	13%
90	3255	4437	36%	435	543	25%	17,53	22,69	29%	42,63	35,94	-16%
92	3245	5251	62%	447	390	-13%	26,58	42,83	61%	27,3	31,58	16%
93	5770	5287	-8%	491	461	-6%	26,3	24,55	-7%	44,6	46,54	4%
94	3088	6706	117%	379	796	110%	21,6	20,43	-5%	38,39	41,22	7%
95	6227	9071	46%	769	843	10%	21,05	25,15	19%	38,51	42,62	11%
96	3075	7749	152%	402	761	89%	21,19	22,08	4%	36,1	46,21	28%
97	4581	5659	24%	436	485	11%	31,83	29,85	-6%	33,16	39,12	18%
98	1522	6492	327%	269	421	57%	25,1	35,65	42%	22,37	42,59	90%
99	7280	4919	-32%	822	579	-30%	21,43	18,33	-14%	41,43	46,44	12%
100	2059	4549	121%	234	320	37%	28,63	35,98	26%	30,94	39,51	28%
102	5476	7928	45%	762	838	10%	14,91	19,63	32%	48,34	48,14	0%
103	4923	10239	108%	462	951	106%	23,23	21,9	-6%	45,71	49,26	8%
104	5367	6203	16%	448	551	23%	24,55	22,48	-8%	48,97	50,13	2%
105	6190	9979	61%	578	755	31%	24,73	26,68	8%	43,39	49,4	14%
106	2592	5002	93%	390	510	31%	15,53	21,93	41%	41,67	47,44	14%
107	2833	2476	-13%	412	599	45%	16,48	11,85	-28%	42,08	34,91	-17%
108	4328	6663	54%	333	416	25%	33,83	38,85	15%	38,39	40,21	5%
109	3952	4728	20%	546	649	19%	19,83	19,73	-1%	36,78	36,87	0%
110	3764	2898	-23%	472	475	1%	19,45	15,55	-20%	41,02	39,46	-4%
111	5364	9536	78%	477	586	23%	24,4	30,33	24%	45,57	53,7	18%
112	1609	2283	42%	246	381	55%	15,43	14,6	-5%	42,42	40,43	-5%
113	5272	6056	15%	540	491	-9%	26,75	26	-3%	34,62	47,35	37%
114	3026	5755	90%	444	550	24%	16,85	24,53	46%	40,3	42,73	6%
115	4514	6425	42%	408	492	21%	22,63	23,38	3%	49,34	55,89	13%
116	3032	3512	16%	324	358	10%	27,53	26,05	-5%	33,83	37,75	12%
117	2440	2195	-10%	682	468	-31%	30,75	36,6	19%	11,83	12,85	9%
Media tratamientos	3837a	6475b	69%	488a	603a	24%	25,33a	28,34b	12%	31,6a	38,78b	23%
LSD trat.	1382			148,5nsig			3			0,25		
LSD cv×trat.	2590			240,7			4,27			4,51		

Nota: El color celeste identifica los genotipos que presentaron menores valores para cada componente y a su vez no presentaron diferencias significativas en la comparación de medias por test de LSD, mientras que en amarillo aparecen aquellos genotipos que sin presentar diferencias significativas según test de LSD arrojaron los mayores valores. (Anexo)

Tabla 5.8 Genotipos que presentaron mayores aumentos de rendimiento, $Nesp/m^2$, NG/esp y PMG ante la aplicación de fungicidas.

	Rendimiento		$Nesp/m^2$		NG/esp		PMG	
	cv	aumento	cv	aumento	cv	aumento	cv	aumento
Genotipos con mejor respuesta a aplicación de funguicidas.	37	550%	94	110%	21	188%	30	130%
	21	528%	34	109%	37	125%	31	123%
	36	417%	103	106%	36	89%	40	90%
	30	407%	64	100%	24	81%	98	90%
	98	327%	96	89%	92	61%	9	86%

Los siguientes histogramas de la Figura 5-3 muestran la comparación entre el tratamiento SF y el tratamiento CF agrupando a los genotipos en intervalos crecientes para rendimiento (Fig. 5-3a), $Nesp/m^2$ (Fig. 5-3b), NG/esp (Fig. 5-3c) y PMG (Fig. 5-3d). Como se puede observar, la tendencia en la distribución de los cuatro histogramas revelan que los genotipos del tratamiento CF se desplazan hacia la derecha con respecto a los SF demostrando mayores valores de rendimiento, número de espigas por unidad de área, número de granos por espiga y peso de mil granos.



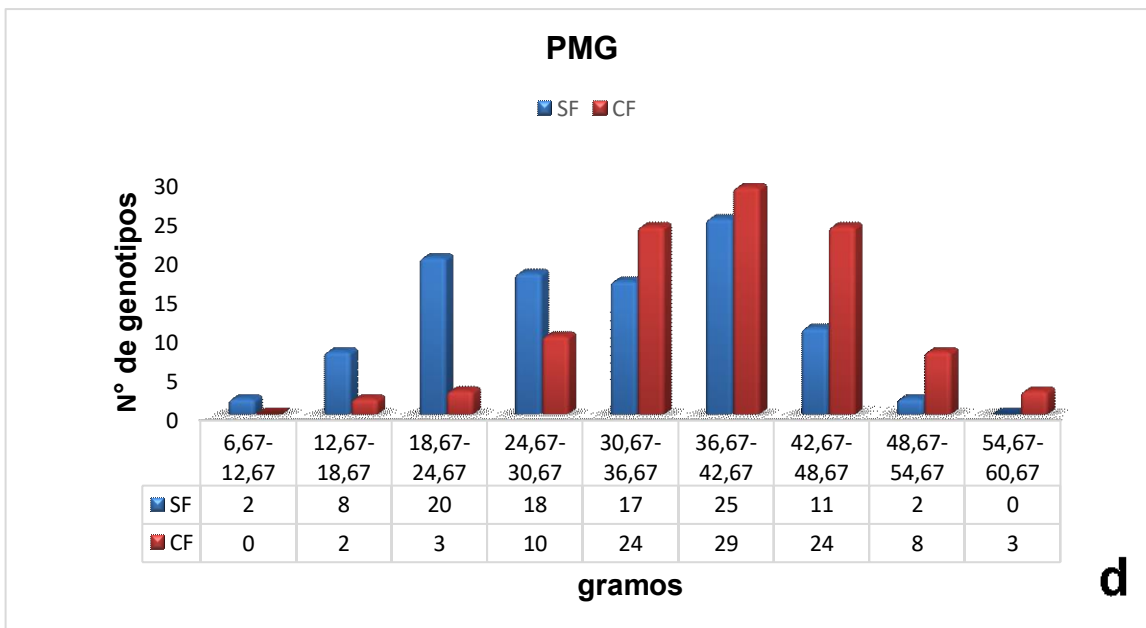
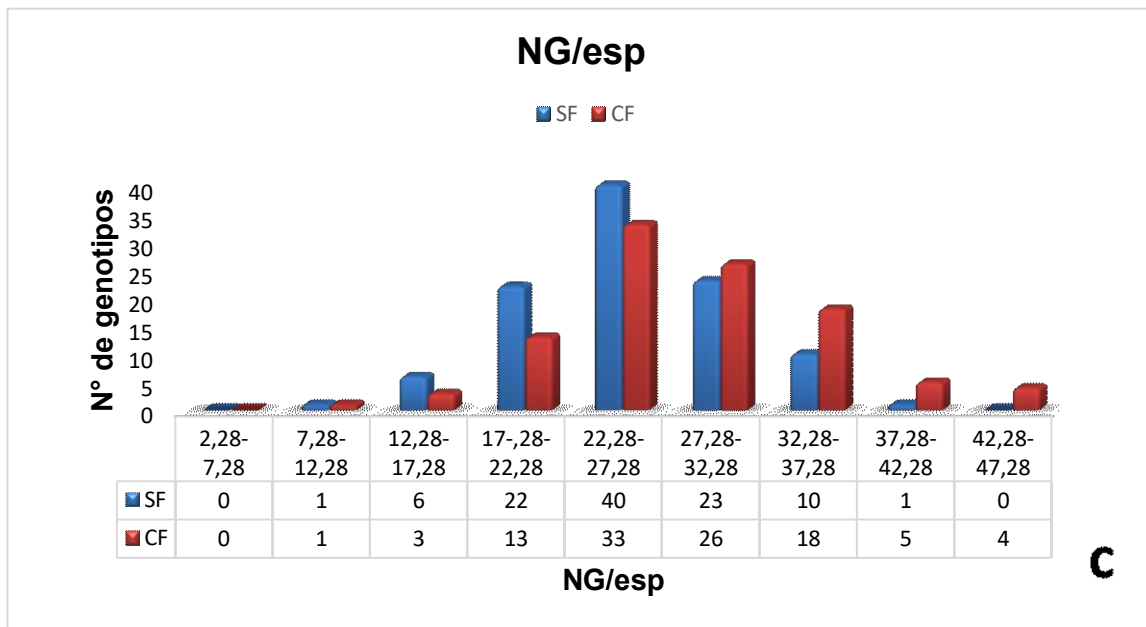


Figura 5-3 Histograma de distribución de frecuencias para Rendimiento y sus componentes para los tratamientos SF (azul) y CF (Bordo) en forma comparada para 9 intervalos* crecientes. a) EC31 b) EC60 c) EC80 d) ABCPE. * $1+3,322 \cdot \log_{10}(206)=8.7 \approx 9$

6 Discusión

Las condiciones climáticas acontecidas durante el transcurso del ensayo (**Tabla 5.1**) determinaron una fuerte influencia en el desarrollo epidemiológico de las enfermedades foliares observadas, en coincidencia con Wegulo *et al.* (2012) y Campbell & Madden (1990), quienes advirtieron ya, el rol preponderante que juegan tanta la temperatura media como la humedad relativa ambiente y las precipitaciones en la supervivencia, reproducción y sobrevivencia de *Py. tritici-repentis* y *P. triticina*, patógenos que prevalecieron fuertemente en el ensayo ejecutado.

A partir de los resultados obtenidos en el ensayo se observó que el desarrollo de enfermedades arrojó valores de severidad significativamente altos en el estadio EC80 a medida que se aumentó la presión de inóculo debido a condiciones ambientales predisponentes de humedad y temperatura y al aumento de ciclos de infección de los patógenos predominantes provocando aumentos en el ABCPE. A demás se registraron diferencias altamente significativas entre los cultivares evaluados en EC31, EC60, EC80 y ABCPE. Por otro lado, no se registraron diferencias significativas entre tratamientos para severidad en EC31 debido a condiciones ambientales poco predisponentes para el desarrollo de enfermedades entorno de este estadio y a una menor cantidad de ciclos de infección de los patógenos, mientras que, en EC60 y EC80 se detectaron diferencias. Este resultado es consecuencia del control ejercido por la acción fungicida del tratamiento CF sobre las enfermedades foliares, que incluso, controlaron los patógenos de menor importancia que no se observan fácilmente en el campo (Bertelsen *et al.*, 2001) así como con los efectos fisiológicos directos que pueden producir los fungicidas sobre las plantas (Grossmann & Retzlaff, 1997), tales como aumentos en la duración del área foliar verde, el contenido de clorofila y la eficiencia del uso de la radiación de las hojas (Milne *et al.*, 2007).

Las enfermedades foliares generaron reducciones notorias en el rendimiento, a partir de los resultados obtenidos en el ensayo se observó que ante la aplicación de fungicidas el rendimiento aumentó en promedio 69% con respecto al tratamiento SF. En concordancia con estos resultados, Carmona *et al.* (1998) verificaron en ensayos de

eficiencia de fungicidas un aumento entre 22 y 55% con respecto a testigos enfermos con *Py.tritici-repentis*. En tanto que Serrago (2010) estudiando diferentes años y ambientes encontró disminuciones en el rendimiento de 17 a 47% frente a infecciones conjuntas de patógenos hemibiotróficos y necrotróficos (*Z.tritici* y *Py.tritici-repentis*) y biotróficos (*P.triticina*).

Respecto a los componentes que hacen al rendimiento, y bajo las condiciones expuestas en el transcurso de este trabajo, se detectó, para Nesp.m^{-2} , una diferencia promedio de 24% en favor del tratamiento protegido con fungicida. Si bien las enfermedades tuvieron una baja incidencia en estadios tempranos y presentaron un mayor desarrollo a partir de EC60 debido a factores ambientales que auspiciaron condiciones predisponentes para su desarrollo, se detectó una importante mortandad de macollos en tratamientos enfermos, tal como fue documentado por Boote *et al.*, 1983; Waggoner & Berger, 1987 y Bancal *et al.*, 2007 estudiando diferentes patosistemas. La disminución de este componente está asociada generalmente a epifitias en estadios fenológicos tempranos (ej. macollaje) y generalmente relacionada con patógenos que sobreviven en rastrojo (Leitch y Jenkins, 1995; Simón *et al.*, 2002). Ronis *et al.* (2009) documentó que caídas en el Nesp.m^{-2} ante epidemias causadas por *Py.tritici-repentis* y *S.tritici* estuvieron explicadas por condiciones predisponentes tempranas para el desarrollo de estas enfermedades y por la utilización de cultivares susceptibles a estos patógenos. En un mismo sentido, Simón *et al.* (2002, 2011) documentaron caídas de 4 a 14% en esta variable ante infecciones tempranas generadas por *S.tritici* que influenciaron la producción y supervivencia de macollos.

A demás, se detectaron incrementos para el NG/esp del 12% ante la aplicación de fungicidas, respuesta que coincide con lo documentado por Ronis *et al.* (2009) y Simón *et al.* (2002, 2011) ante infecciones de diversos patógenos foliares en trigo. Estos resultados indican que la caída en el número de gramos. m^{-2} (NGT), principal componente del rendimiento (Fischer, 1985; Miralles y Slafer, 1999; Borras *et al.*, 2004) ante aumentos en la severidad de los patógenos foliares se explicó en este caso fundamentalmente por caídas en el Nesp.m^{-2} principalmente y en el NG/esp (Robert *et al.*, 2004) asociadas a caídas en la tasa de crecimiento del cultivo (Schierenbeck, 2015).

De manera similar al Nesp.m^{-2} y NG/esp, hubo aumentos promedio en el PMG de 23% en tratamientos protegidos, debido a que los no protegidos (SF) se vieron más

afectados por epifitias de patógenos fúngicos foliares, respuestas normalmente asociadas con infecciones en post-floración (Simón *et al.*, 1996; Wang *et al.*, 2004; Ishikawa *et al.*, 2011). En este sentido, los genotipos 30 (130% de aumento), 31 (123%), 40 (90%), 98 (90%), 9 (86%), 58 (85%) y 36 (84%) fueron los más afectados en el PMG ante la presencia de enfermedades foliares. Dentro de los componentes del rendimiento, la disminución en el PMG ante infecciones generadas por patógenos foliares en trigo ha sido ampliamente documentada (Gooding *et al.*, 2000; Dimmock & Gooding, 2002; Ishikawa *et al.*, 2011). Coincidiendo con Kelley (1993, 2001), Carignano *et al.* (2008) y Simón *et al.* (2011), tratamientos enfermos presentaron disminuciones en esta variable en comparación a tratamientos protegidos. En este sentido, Simón *et al.* (1996) observaron reducciones de 1 a 13 % en el peso de grano ante ataques tardíos de *Z. tritici*. Similares respuestas fueron reportadas por Bancal *et al.* (2008) y Varga *et al.* (2005) ante infecciones naturales generadas por *P. triticina* y *Z. tritici*. Por su parte, Sharma *et al.* (2004) evaluando el comportamiento a *Py. tritici-repentis* de 60 cultivares primaverales de distinta procedencia encontraron disminuciones en el PMG desde 2,6% a 33% frente a testigos protegidos. Por su parte, Serrago *et al.* (2011) encontraron caídas en el PMG de 8,5% ante infecciones en post-antesis generadas por *P. triticina*, *Py. tritici-repentis* y *Z. tritici*. Ante epidemias causadas por *P. triticina* y *Z. tritici*, Robert *et al.* (2004) documentaron caídas en el PMG de 38-40%. Por su parte, Serrago *et al.* (2014) reportaron disminuciones en el peso del grano de hasta 25% frente a inoculaciones de *P. triticina*, presentando las mayores reducciones aquellos granos localizados en posiciones distales de espiguillas centrales, en tanto que Schierenbeck (2015) documentó caídas de hasta el 6,3% ante infecciones de *Py. tritici-repentis* y 9,3% ante infecciones de *P. triticina*.

Bajo las condiciones de estos ensayos, en términos generales, el clima fue favorable para el desarrollo de las enfermedades, razón por la cual, en las parcelas no protegidas se produjeron aumentos porcentuales en la severidad y el ABCPE. Este impacto negativo de las enfermedades foliares se evidenció fuertemente en el tratamiento no protegido de los diferentes genotipos y fue consecuencia directa en la reducción de los rendimientos y todos sus componentes numéricos (NG/esp, Nesp.m⁻² y PMG).

Se desprende de lo expuesto que tanto dentro de los tratamientos tratados con fungicidas (CF) y aquellos que no estuvieron protegidos (SF) se observaron grandes

diferencias para todas las variables evaluadas en todos los genotipos utilizados, lo cual nos permite aceptar la hipótesis inicial que postula que dentro de esta colección de 103 trigos primaverales “*Existe una amplia variabilidad genotípica para severidad causada por las enfermedades foliares de trigo y para rendimiento y sus componentes en particular*”. Al mismo tiempo, a partir de los resultados obtenidos, y mediante su posterior análisis, se logró detectar tanto, genotipos distinguidos por su alto potencial en la generación de rendimiento y sus componentes como, genotipos con gran respuesta ante la aplicación de fungicidas. Esto nos permite aceptar la segunda hipótesis que motorizó este trabajo: “*Es posible identificar algunos genotipos destacados para dichas variables en una colección internacional de trigos.*”

7 Conclusiones

- Existe amplia variabilidad genotípica para resistencia a enfermedades en la colección internacional de 103 trigos primaverales evaluada.
- El tratamiento protegido con fungicidas presenta menores niveles de severidad, ABCPE y valores superiores de rendimiento y sus componentes.
- Los genotipos evaluados evidencian importantes diferencias en todas las variables analizadas y respuestas diferenciales ante la aplicación de fungicidas.

8 ANEXO

Tabla 8.1 Test de LSD para EC31 ($p<0,001$) LSD=6.37 para interacción genotipo x tratamiento. (a) mayor severidad (amarillo); (g) menor severidad. (celeste)

CV	SF	significancia	CF	significancia
1	1,61	g2x6t1q	0,46	Kq
2	8,69	iklmnxitoprcstufchawYfawzQcfzq	9,32	IkilmnxitoprcstufchawYfawzQ
3	19,24	Hijklnmnpqropq	10,99	yzabgydezqthiklmnxitoprcstuf
4	4,14	chawYfawzQcfzqawjazg2x6t1q	5,64	stufchawYfawzQcfzqawjazg2x6t1q
5	4,99	fxawYfawzQcfzqawjazg2x6t1q	4,94	fxawYfawzQcfzqawjazg2x6t1q
6	9,43	thiklmnxitoprcstufchawYfawz	5,96	rcstufchawYfawzQcfzqawjazg2x6t1q
7	3,56	ftzQcfzqawjazg2x6t1q	2,86	ftzQcfzqawjazg2x6t1q
8	8,9	thiklmnxitoprcstufchawYfawzQcf	5,01	fxawYfawzQcfzqawjazg2x6t1q
9	0,78	6t1q	0,78	6t1q
10	11,2	yzabgydezqthiklmnxitoprcstuf	0	P
11	10,81	abgydezqthiklmnxitoprcstuf	5,67	stufchawYfawzQcfzqawjazg2x6t1q
12	13,59	rqrstuvwxzabgydezqthiklm	13,18	qrstuvwxzabgydezqthiklmv
13	3,7	YfawzQcfzqawjazg2x6t1q	0,18	kg
14	8,59	iklmnxitoprcstufchawYfawzQcfzq	2,34	7wja2x6t1q
15	32,38	A	18,07	ijklmnpiopqrstuv
16	1,48	2x6t1q	0,18	kg
17	28,07	Abcd	17,93	ijklmnpiopqrstuvw
18	19,74	Ghijklmnpiop	5,64	stufchawYfawzQcfzqawjazg2x6t1q
19	3,28	tzQcfzqawjazg2x6t1q	5,64	stufchawYfawzQcfzqawjazg2x6t1q
20	18,73	hijklmnpiopqr	5,67	stufchawYfawzQcfzqawjazg2x6t1q
21	6,51	zotprcsstufchawYfawzQcfzqawjazg2x6t1q	10,54	bgdezqthiklmnxitoprcstufch
22	12,07	unwxzabgydezqthiklmnxitop	13,04	qrstuvwxzabgydezqthiklmv
23	24,94	Bcdefgh	5,01	fxawYfawzQcfzqawjazg2x6t1q
24	14,53	opqrstuvwxzabgydezqthik	26,4	abcdef
25	22,62	Cdefghijkl	10,95	zaabgydezqthiklmnxitoprcstuf
26	13,28	qrstuvwxzabgydezqthiklm	10,15	dezqthiklmnxitoprcstufchaw
27	12,89	qrstuvwxzabgydezqthiklmv	12,34	stuvwxzabgydezqthiklmnxitop
28	5,12	ufchawYfawzQcfzqawjazg2x6t1q	12,34	stuvwxzabgydezqthiklmnxitop
29	16,19	mnpiopqrstuvwxzabgyde	9,18	IkilmnxitoprcstufchawYfawzQ
30	19,14	Hijklmnpiopq	16,64	lmnpiopqrstuvwxzabgy
31	30,78	Ab	28,07	abcd
32	20,78	efghijklmnpi	13,07	qrstuvwxzabgydezqthiklmv
33	22,1	defghijklmn	14,46	opqrstuvwxzabgydezqthik
34	19,74	ghijklmnpiop	8,9	IkilmnxitoprcstufchawYfawzQ
35	14,7	opqrstuvwxzabgydezqthik	14,68	opqrstuvwxzabgydezqthik
36	28,76	abc	24,88	bcdedfgh
37	26,92	abcde	23,03	cdefghijk
38	5,39	stufchawYfawzQcfzqawjazg2x6t1q	5,12	ufchawYfawzQcfzqawjazg2x6t1q
39	7,24	lmnxitoprcstufchawYfawzQcfzqawjazg2x6t1q	6,96	mnxitoprcstufchawYfawzQcfzqawjazg2x6t1q
40	7,62	lmnxitoprcstufchawYfawzQcfzqawjazg2x6t1q	7,48	lmnxitoprcstufchawYfawzQcfzqawjazg2x6t1q
41	18,21	ijklmnpiopqrstuv	12,65	qrstuvwxzabgydezqthiklmv
42	8,73	iklmnxitoprcstufchawYfawzQcf	13,46	opqrstuvwxzabgydezqthik
43	4,29	chawYfawzQcfzqawjazg2x6t1q	6,93	mnxitoprcstufchawYfawzQcfzqawjazg2x6t1q
44	7,65	lmnxitoprcstufchawYfawzQcfzqawjazg2x6t1q	8,07	lmnxitoprcstufchawYfawzQcfzqawjazg2x6t1q

114	4,42	χψωγφωηζφηζψηεζδηκ	2,89	ζηζψηεζδηκ
115	7,76	λμνξοπρςστυφψωγφωηζφηζψηεζ	10,95	ζαβηδεζηθικλμξοπρςστυφ
116	3,07	ηζφηζψηεζδηκ	2,65	φηζψηεζδηκ
117	18,45	ijklmnñopqrst	17,16	klmnñopqrstuvwxyz

*grupos con similar severidad fueron indicados con igual color

Tabla 8.2 Test de LSD para EC60 ($p<0,001$) LSD=10,139 para interacción genotipo x tratamiento. (a) mayor severidad (amarillo); (f) menor severidad (celeste).

CV	SF	Significancia	CF	Significancia
1	62,22	klmnop	30,28	μηδενική ψηφοφορία
2	43,89	tuvwxyzαβγδε	30,56	λαμπρή ψηφοφορία
3	38,61	ζαβγδεζηθικλμνξ	21,11	Ζαβγδεζηθικλμνξ
4	81,39	cdef	13,33	Εθεαίρημροτηλεϊτικό
5	82,78	cde	6,39	Γ
6	39,72	xyzaβγδεζηθικλμν	41,39	Wxzyazαβγδεζηθι
7	78,61	defghi	21,94	Θηγωνιώς ζητητικό
8	86,67	abcd	6,39	Γ
9	85,75	bcd	25,56	τυφχψωθηγωνιώς ζητητικό
10	78,89	defgh	45,28	Τυννχyzαβγδ
11	41,94	vwxyzαβγδεζηθ	22,5	Ψωθηγωνιώς ζητητικό
12	51,94	qrstuv	22,5	Ψωθηγωνιώς ζητητικό
13	48,89	rstuvwxyz	34,17	Εζηθικλμνξοπροστοφ
14	22,50	ψωθηγωνιώς ζητητικό	16,11	Σαρτηροθεαίρημροτηλεϊτικό
15	21,11	Ζαβγδεζηθικλμνξ	27,78	Προστοφχψωθηγωνιώς ζητητικό
16	36,94	βγδεζηθικλμνξοπρ	28,06	Προστοφχψωθηγωνιώς ζητητικό
17	25,69	τυφχψωθηγωνιώς ζητητικό	13,33	Εθεαίρημροτηλεϊτικό
18	30,00	νξοπροστοφχψωθηγωνιώς	24,72	Φχψωθηγωνιώς ζητητικό
19	66,67	jklm	35,83	δεζηθικλμνξοπροσ
20	69,44	ghijkl	26,11	στυφχψωθηγωνιώς ζητητικό
21	61,39	lmnopq	52,5	ρqrstu
22	14,44	ηθεαίρημροτηλεϊτικό	9,72	Σέληϊτικό
23	26,94	ρροστοφχψωθηγωνιώς ζητητικό	9,72	Σέληϊτικό
24	25,00	Φχψωθηγωνιώς ζητητικό	17,78	Ψηφηασθητηροθεαίρημροτηλεϊτικό
25	62,50	klmnop	12,5	Εθεαίρημροτηλεϊτικό
26	36,39	γδεζηθικλμνξοπρ	17,5	Ψηφηασθητηροθεαίρημροτηλεϊτικό
27	36,11	δεζηθικλμνξοπροσ	16,67	ηασθητηροθεαίρημροτηλεϊτικό
28	29,58	ξοπροστοφχψωθηγωνιώς	15,83	Σαρτηροθεαίρημροτηλεϊτικό
29	20,56	φωνιώς ζητητικό	13,06	Εθεαίρημροτηλεϊτικό
30	65,83	jklmn	24,72	Φχψωθηγωνιώς ζητητικό
31	86,11	bcd	34,44	εζηθικλμνξοπροστοφ
32	52,78	ρqrstu	26,11	στυφχψωθηγωνιώς ζητητικό
33	45,28	tuvwxyzαβγδ	19,17	ζητητικό
34	69,17	hijkl	18,89	ηασθητηροθεαίρημροτηλεϊτικό
35	42,22	vwxyzαβγδεζη	11,11	Ρημροτηλεϊτικό
36	69,44	ghijkl	46,39	στυννχyzαβγδ
37	48,33	rstuvwxyz	19,72	ηασθητηροθεαίρημροτηλεϊτικό
38	79,44	cdefg	14,17	ηρθεαίρημροτηλεϊτικό
39	38,61	ζαβγδεζηθικλμνξ	25,56	τυφχψωθηγωνιώς ζητητικό
40	46,67	stuvwxyzαβ	30,56	λμνξοπροστοφχψωθηγωνιώς

41	82,92	cde	69,17	hijkl
42	40,83	хузаңғандаңыз	33,06	нұтқалмұнғонопрототип
43	37,50	ағындаңыз	23,89	хұвағаштық
44	48,06	rstuvwxyz	19,44	Оңайшылдаңыз
47	51,11	rstuvw	42,08	vwxyz
48	68,61	ijkl	27,78	прототип
49	20,00	автошылдаңыз	9,72	Сөзлеңің
50	25,28	սұғыншылдаңыз	8,33	нұсқа
51	51,94	qrstuv	24,72	фұншылдаңыз
52	51,94	qrstuv	24,72	фұншылдаңыз
53	20,83	Ұғашылдаңыз	9,72	Сөзлеңің
54	43,61	унвхыз	33,06	нұтқалмұнғонопрототип
55	31,94	θикелмұнғонопрототип	13,89	нұтқалмұнғонопрототип
56	42,22	vwxyz	46,67	stuvwxyz
57	30,42	μνξοπρототип	15,56	Хәткәндең
58	69,44	ghijkl	40,28	хузаңғандаңыз
59	71,67	fghijk	26,67	çotsuфұншылдаңыз
60	89,44	abc	17,22	қызметтердең
61	26,39	çotsuфұншылдаңыз	12,78	өткөндең
62	46,39	stuvwxyz	18,33	шылдаңыз
63	55,83	nopqrstuvwxyz	12,78	өткөндең
64	48,33	rstuvwxyz	38,89	ұзаңғандаңыз
65	33,89	εζηθикелмұнғонопрототип	18,33	шылдаңыз
66	49,17	rstuvwxyz	37,36	ағындаңыз
67	73,06	efghij	15,33	старт
68	13,61	өткөндең	19,17	çotsuфұншылдаңыз
69	82,50	cde	35,42	деңгелі
70	45,00	тунвхыз	25,56	тұғыншылдаңыз
71	31,67	ικλμνξοπρототип	19,17	çotsuфұншылдаңыз
72	26,67	çotsuфұншылдаңыз	22,22	ағыншылдаңыз
73	61,39	lmnopq	33,89	εζηθикелмұнғонопрототип
74	55,56	opqrstuvwxyz	19,17	çotsuфұншылдаңыз
75	35,28	δεζηθикелмұнғонопрототип	29,03	ξοπρототип
76	15,28	Бастапқы	10	ρ
77	40,83	хузаңғандаңыз	12,08	ε
88	88,61	abcd	21,67	θ
89	14,44	нұтқалмұнғонопрототип	10,56	μ
90	9,44	λ	9,44	λ
92	13,06	өткөндең	11,39	ρ
93	39,72	хузаңғандаңыз	13,06	ε
94	57,50	mpnopqr	34,44	δ
95	47,22	stuvwxyz	31,94	θикелмұнғонопрототип
96	73,06	efghij	9,17	λ
97	96,67	a	16,39	α
98	49,44	rstuvwxyz	18,61	γ
99	66,94	jklm	9,17	λ
100	94,44	ab	14,72	τ
102	14,17	нұтқалмұнғонопрототип	9,44	λ
103	49,72	rstuvwxyz	8,61	λ
104	63,06	jklnmo	28,61	οπρототип
105	66,94	jklm	29,44	ξοπρототип

106	33,89	εζηթիկլմնξօրցտսփχ	6,81	ԵՐ
107	21,94	ՅԾԿՓՋԱՔՀԱՑՎԿԵՑՃՏԿԹԵ	12,22	ԹԵԹԻԲՄԾՑԵԼԵՒԵԿԱԲՐ
108	53,89	օրգրտ	33,61	ՀԵԹԻԿԼՄՆԽՕՊՐՑՏՍՓԽ
109	32,50	դեմքամնէօրցտսփչպ	25,28	ՍՓԽՓաՅՑԿԱՑՎԱՑՎԿԵՑՃ
110	30,83	կլմնէօրցտսփչպաթշ	15,56	ՃԵՏԿԹԵԹԻԲՄԾՑԵԼԵՒԵԿԱԲՐ
111	21,11	ԿՓՋԱՔՀԱՑՎԿԵՑՃՏԿԹԵ	17,5	ՎԿԵՑՃԵՏԿԹԵԹԻԲՄԾՑԵԼԵՒԵԿԱ
112	40,56	խցաթցէղթիկլ	15,83	ՃԵՏԿԹԵԹԻԲՄԾՑԵԼԵՒԵԿԱԲՐ
113	7,50	ԿԱԲՐ	11,11	ԲԺՄԾՑԵԼԵՒԵԿԱԲՐ
114	33,61	ՀԵԹԻԿԼՄՆԽՕՊՐՑՏՍՓԽ	13,06	ԹԵԹԻԲՄԾՑԵԼԵՒԵԿԱԲՐ
115	21,39	ԿՓՋԱՔՀԱՑՎԿԵՑՃՏԿԹԵ	10,56	ՄԾՑԵԼԵՒԵԿԱԲՐ
116	15,83	ՃԵՏԿԹԵԹԻԲՄԾՑԵԼԵՒԵԿԱԲՐ	10,83	ԵՄԾՑԵԼԵՒԵԿԱԲՐ
117	70,56	ghijkl	32,22	ԴԵԹԻԿԼՄՆԽՕՊՐՑՏՍՓԽՈ

*grupos con similar severidad fueron indicados con igual color.

Tabla 8.3 Test de LSD para EC80 ($p<0,001$) LSD=6.09 para interacción genotipo x tratamiento. (a) mayor severidad (amarillo); (θ) menor severidad (celeste).

CV	SF	Significancia	CF	Significancia CF
1	89,61	lmnñopqrstuvwxyzabgδε	85,05	zaβgδεζηθικλμνξ
2	89,61	lmnñopqrstuvwxyzabgδε	87,67	tuvwxzyzaβgδεζηθικλ
3	100	a	50,98	ςθ
4	93,8	bcd ^e fghijklmnñopqrs	87,72	stuvwxyzabgδεζηθικλ
5	90,5	jklmnñopqrstuvwxyzab	85,5	xyzaβgδεζηθικλμξ
6	96,83	abcdefghi	92,17	efghijklmnñopqrstuv
7	89,61	lmnñopqrstuvwxyzabgδε	86,28	vwxzyzaβgδεζηθικλμν
8	100	a	97,43	abcdef
9	86,83	uvwxyzabgδεζηθικλμν	89,61	lmnñopqrstuvwxyzabgδε
10	89,61	lmnñopqrstuvwxyzabgδε	89,61	lmnñopqrstuvwxyzabgδε
11	98,86	abc	91,22	ghijklmnñopqrstuvwxyz
12	98	abcde	94,66	abcdefg hijklmnño
13	88	rstuvwxyzabgδεζηθικλ	86	wxzyzaβgδεζηθικλμξ
14	98,5	abcd	90,22	klmnñopqrstuvwxyzab
15	89,11	nñopqrstuvwxyzabgδεζ	90,5	jklmnñopqrstuvwxyzab
16	88,3	qrstuvwxyzavngδεζηθικ	89,5	lmnñopqrstuvwxyzabgδεζ
17	75,98	φχψωϊük	45,43	θ
18	90	klmnñopqrstuvwxyzabγ	56	ςς
19	89,61	lmnñopqrstuvwxyzabgδε	87,5	tuvwxzyzaβgδεζηθικλμ
20	89,61	lmnñopqrstuvwxyzabgδε	87,94	rstuvwxyzabgδεζηθικλ
21	89,61	lmnñopqrstuvwxyzabgδε	74,05	ψωϊükθ
22	73,5	ωϊükθ	66,5	θΥφ
23	93,83	bcd ^e fghijklmnñopqr	82,44	κλμνξοπρστ
24	82,15	λμνξοπρστυ	63,55	φω
25	82,5	ικλμνξοπρστ	75,5	φχψωϊük
26	97	abcdefghi	95,17	abcdefg hijklmn
27	84,25	γδεζηθικλμνξοπ	71,33	ϋκεθΥ
28	95,5	abcdefg hijklm	73,72	ωϊükθ
29	96,5	abcdefg hij	75	χψωϊük
30	89,61	lmnñopqrstuvwxyzabgδε	88,22	qrstuvwxyzavngδεζηθικλ
31	84,15	γδεζηθικλμνξοπ	78,78	πρστυφχψω
32	89,5	lmnñopqrstuvwxyzabgδεζ	64,1	φω

33	99,15	ab	88,65	opqrstuvwxyzabgdeζηθ
34	89,61	lmnñopqrstuvwxyzabgδε	89,61	lmnñopqrstuvwxyzabgδε
35	87,78	rstuvwxyzabgδεζηθικλ	85,78	wxyzabgδεζηθικλμνξ
36	89,61	lmnñopqrstuvwxyzabgδε	88,67	opqrstuvwxyzabgδεζηθ
37	84,89	αβγδεζηθικλμνξο	83,75	δεζηθικλμνξοπρ
38	95,15	abcdefghijklmn	84,67	βγδεζηθικλμνξοπ
39	95,56	abcdefghijklm	83,5	ζηθικλμνξοπρς
40	89,61	lmnñopqrstuvwxyzabgδε	84,67	βγδεζηθικλμνξοπ
41	94,8	abcdefghijklmnñ	85,5	xyzaβγδεζηθικλμνξ
42	89,61	lmnñopqrstuvwxyzabgδε	89,05	ñopqrstuvwxyzabgδεζη
43	89,61	lmnñopqrstuvwxyzabgδε	88	rstuvwxyzabgδεζηθικλ
44	96	abcdefghijklk	92,78	cdefghijklmnñopqrstu
47	89,61	lmnñopqrstuvwxyzabgδε	85,3	yzabgδεζηθικλμνξ
48	89,61	lmnñopqrstuvwxyzabgδε	88,19	qrstuvwxyzazavγδεζηθικλ
49	91,5	fghijklmnñopqrstuvwxyz	68	69Υφ
50	100	a	95,22	abcdefghijklm
51	89,5	lmnñopqrstuvwxyzabgδεζ	82,69	θικλμνξοπρς
52	90,5	jklmnñopqrstuvwxyzab	79	οπρστυφχψω
53	86,94	uvwxyzabgδεζηθικλμν	59	ωκΩ
54	85,5	xyzaβγδεζηθικλμνξ	81,47	μνξοπρςτυφ
55	98	abcde	92,37	efghijklmnñopqrstuv
56	89,61	lmnñopqrstuvwxyzabgδε	89,61	lmnñopqrstuvwxyzabgδε
58	89,61	lmnñopqrstuvwxyzabgδε	86,42	vwxyzabgδεζηθικλμν
59	89,61	lmnñopqrstuvwxyzabgδε	88,22	qrstuvwxyzazavγδεζηθικλ
60	95	abcdefghijklmnñ	90,77	ijklmnñopqrstuvwxyz
61	100	a	76,22	υφχψωϊϋΚ
62	100	a	98	abcde
63	89,61	lmnñopqrstuvwxyzabgδε	86,3	vwxyzabgδεζηθικλμν
64	88,55	pqrstuvwxyzabgδεζηθι	72,94	ωϊϋΚθ
65	89,61	lmnñopqrstuvwxyzabgδε	86,55	vwxyzabgδεζηθικλμν
66	89,61	lmnñopqrstuvwxyzabgδε	84,94	zaβγδεζηθικλμνξο
67	83,5	ζηθικλμνξοπρς	58,32	ωκΩ
68	84,5	βγδεζηθικλμνξοπ	56,5	κΩς
69	96	abcdefghijklk	62,44	φως
70	89,61	lmnñopqrstuvwxyzabgδε	81,55	μνξοπρςτυφ
71	97	abcdefghijkl	94,11	abcdefghijklmnñopq
72	88,3	qrstuvwxyzazavγδεζηθικλ	81,44	μνξοπρςτυφ
73	84,5	βγδεζηθικλμνξοπ	77,75	ρςτυφχψωΪ
74	100	a	98,5	abcd
75	91	hijklmnñopqrstuvwxyz	79,92	ξοπρςτυφχψ
76	97,5	abcdef	77,67	ρςτυφχψωΪ
77	95,15	abcdefghijklmn	85,5	xyzaβγδεζηθικλμνξ
88	84,5	βγδεζηθικλμνξοπ	83,94	γδεζηθικλμνξοπ
89	98	abcde	93,5	bcdedfghijklmnñopqrst
90	76,81	στυφχψωΪ	80,98	νξοπρςτυφχ
92	83	ηθικλμνξοπρς	72,22	ϊΫΚθ
93	95,5	abcdefghijklm	85,94	wxyzabgδεζηθικλμνξ
94	98,5	abcd	95,67	abcdefghijklk
95	90,5	jklmnñopqrstuvwxyzab	76,5	τυφχψωΪΚ
96	97	abcdefghijkl	93,5	bcdedfghijklmnñopqrst
97	100	a	100	a
98	100	a	94,67	abcdefghijklmnñ

99	95,65	abcdefghijkl	75	χψωϊϋΚ
100	100	a	97,22	abcdefg
102	95,55	abcdefghijklm	76,32	υφχψωϊϋΚ
103	84,3	γδεζηθικλμνξοπ	66,5	ΘΥφ
104	92,65	defghijklmnñopqrstuvwxyz	88,5	pqrstuvwxyzαβγδεζηθι
105	91,15	ghijklmnñopqrstuvwxyzvwxy	70,5	ΚεθΥ
106	97	abcdefghijkl	65,5	Υφ
107	91,8	fghijklmnñopqrstuvwxyzvw	79,93	ξοπρςτυφχψ
108	89,8	lmnñopqrstuvwxyzvwxyαβγδ	65,5	Υφ
109	91,5	fghijklmnñopqrstuvwxyzvw	65,99	Υφ
110	91,77	fghijklmnñopqrstuvwxyzvw	88,38	qrstuvwxyzανγδεζηθικ
111	94,59	abcdefghijklmnñop	59,31	ωκΩ
112	85,8	wxyzαβγδεζηθικλμνξ	76,45	τυφχψωϊΚ
113	97	abcdefghijkl	82,99	ηθικλμνξοπρς
114	89	ñopqrstuvwxyzvwxyαβγδεζη	85,6	xyzaβγδεζηθικλμνξ
115	95,5	abcdefghijklm	91,22	ghijklmnñopqrstuvwxyzvwxy
116	83,65	εζηθικλμνξοπρ	77,5	ζστυφχψωϊ
117	89,61	lmnñopqrstuvwxyzvwxyαβγδε	89,61	lmnñopqrstuvwxyzvwxyαβγδε

*grupos con similar severidad fueron indicados con igual color

Tabla 8.4 Test de LSD para Rendimiento ($p<0,001$) $LSD=2590.8$ para interacción genotipo x tratamiento. (a) mayor rendimiento (amarillo); (b) menor rendimiento (celeste).

CV	Rend SF	Significancia	Rend CF	Significacia
1	5455	υνωχυζαβγδεζηθικλμνξοπρςτυφχψωκθθΥφ	5092	γζαβγδεζηθικλμνξοπρςτυφχψωκθθΥφωξφ
2	4571	δεζηθικλμνξοπρςτυφχψωκθθΥφωξφζεζψη	12688	α
3	4306	ηθικλμνξοπρςτυφχψωκθθΥφωξφζεζψη	4598	γδεζηθικλμνξοπρςτυφχψωκθθΥφωξφζεζψη
4	5085	γζαβγδεζηθικλμνξοπρςτυφχψωκθθΥφωξφ	8119	cdefghijklmnopqrs
5	2830	ωκφζεζψηαγχδτηρθ	2711	ηφζεζψηαγχδτηρθ
6	3572	στυφχψωκθθΥφωξφζεζψηαγχδτηρθ	4746	βγδεζηθικλμνξοπρςτυφχψωκθθΥφωξφζεζψη
7	2351	ζψηαγχδτηρθ	6952	ijklmnopqrstuvwxyzαβγδεζ
8	4270	ικλμνξοπρςτυφχψωκθθΥφωξφζεζψη	8542	bcdedghijklmnpqrq
9	1665	αγχδτηρθ	4555	δεζηθικλμνξοπρςτυφχψωκθθΥφωξφζεζψη
10	1713	αγχδτηρθ	2541	ζεζψηαγχδτηρθ
11	3619	ζστυφχψωκθθΥφωξφζεζψηαγχδτηρθ	5954	qrstuvwxyzαβγδεζηθικλμνξοπρςτυφ
12	2586	ζεζψηαγχδτηρθ	4392	ζηθικλμνξοπρςτυφχψωκθθΥφωξφζεζψη
13	3265	χψωκθθΥφωξφζεζψηαγχδτηρθ	7099	ghijklmnpqrstuvwxyzαβγδ
14	4604	γδεζηθικλμνξοπρςτυφχψωκθθΥφωξφζεζψη	7567	fghijklmnopqrstuvwxyzvwxy
15	2916	Υφωξφζεζψηαγχδτηρθ	6699	jklmnopqrstuvwxyzvwxyαβγδεζηθικ
16	4345	ηθικλμνξοπρςτυφχψωκθθΥφωξφζεζψη	6051	pqrstuvwxyzvwxyαβγδεζηθικλμνξοπρςτυ
17	3814	οπρςτυφχψωκθθΥφωξφζεζψηαγχδτη	7305	ghijklmnpqrstuvwxyzvwxyαβ
18	3742	πρςτυφχψωκθθΥφωξφζεζψηαγχδτηρθ	5931	rstuvwxyzαβγδεζηθικλμνξοπρςτυφ
19	4040	μνξοπρςτυφχψωκθθΥφωξφζεζψηαγχδτη	7026	hijklmnopqrstuvwxyzvwxyαβγδε
20	4379	ζηθικλμνξοπρςτυφχψωκθθΥφωξφζεζψη	6051	pqrstuvwxyzvwxyαβγδεζηθικλμνξοπρςτυ
21	632	β	3969	νξοπρςτυφχψωκθθΥφωξφζεζψηαγχδτ
22	5436	ννωχυζαβγδεζηθικλμνξοπρςτυφχψωκθθΥφ	4396	ζηθικλμνξοπρςτυφχψωκθθΥφωξφζεζψη
23	3858	ξοπρςτυφχψωκθθΥφωξφζεζψηαγχδτη	6084	pqrstuvwxyzvwxyαβγδεζηθικλμνξοπρςτ
24	2183	ψηαγχδτηρθ	8888	bcdedghijklm
25	3928	νξοπρςτυφχψωκθθΥφωξφζεζψηαγχδτ	4851	βγδεζηθικλμνξοπρςτυφχψωκθθΥφωξφζεζψη
26	4729	βγδεζηθικλμνξοπρςτυφχψωκθθΥφωξφζεζψη	5044	ζαβγδεζηθικλμνξοπρςτυφχψωκθθΥφωξφζεζψη
27	3804	οπρςτυφχψωκθθΥφωξφζεζψηαγχδτη	6859	jklmnopqrstuvwxyzvwxyαβγδεζηθικ
28	6590	jklmnopqrstuvwxyzvwxyαβγδεζηθικλμ	9003	bcdedghijk
29	7868	defghijklmnopqrstuvwxyz	10823	ab

30	1380	ተደዥያ	6993	hijklmnpqrstuvwxyzazabgδε
31	1576	አብኩዥያ	6122	opqrstuvwxyzazabgδεζηጥዥለምናስጥርσ
32	4630	የድወንትዥለምናስጥርሱስቀውአክሙያዎችፍናግዕዝያ	7626	fghijklmnpqrstuvwxyz
33	2135	የጃሻኩዥያ	6752	jklmnpqrstuvwxyzazabgδεζηጥ
34	2696	ዎችፍናግዕዝያወጪ	8682	bcdedghijklmno
35	4598	የድወንትዥለምናስጥርሱስቀውአክሙያዎችፍናግዕዝያ	8751	bcdedghijklmn
36	1469	ስኩዥያ	7601	fghijklmnpqrstuvwxyz
37	1381	ተደዥያ	8976	bcdedghijkl
38	3597	ስቱቀውአክሙያዎችፍናግዕዝያወጪ	8634	bcdedghijklmnpor
39	2684	ዎችፍናግዕዝያወጪ	5624	stuuvwxyzazabgδεζηጥዥለምናስጥርሱስቀውአክ
40	2483	ፍናግዕዝያወጪ	4850	ብግድናግዕዝያወጪ
41	3816	ስጥርሱስቀውአክሙያዎችፍናግዕዝያወጪ	10114	Abcdef
42	3504	ቱቀውአክሙያዎችፍናግዕዝያወጪ	6324	mnopqrstuvwxyzazabgδεζηጥዥለምናስጥር
43	5743	stuuvwxyzazabgδεζηጥዥለምናስጥርሱስቀው	7273	ghijklmnpqrstuvwxyzazab
44	4298	ጥዥለምናስጥርሱስቀውአክሙያዎችፍናግዕዝያ	6846	jklmnpqrstuvwxyzazabgδεζηጥ
47	3916	ኅኖጥሱስቀውአክሙያዎችፍናግዕዝያ	6868	jklmnpqrstuvwxyzazabgδεζηጥ
48	6688	jklmnpqrstuvwxyzazabgδεζηጥ	7885	defghijklmnpqrstuv
49	3417	ቀውአክሙያዎችፍናግዕዝያ	4092	ለምናስጥርሱስቀውአክሙያዎችፍናግዕዝያ
50	4236	ክልምናስጥርሱስቀውአክሙያዎችፍናግዕዝያ	7876	defghijklmnpqrstuvw
51	3961	ኅኖጥሱስቀውአክሙያዎችፍናግዕዝያ	4763	ብግድናግዕዝያወጪ
52	6768	jklmnpqrstuvwxyzazabgδεζηጥ	7664	efghijklmnpqrstuvwxyz
53	7165	ghijklmnpqrstuvwxyzazabg	8519	bcdedghijklmnpqr
54	2884	ዋኝዎችፍናግዕዝያ	7269	ghijklmnpqrstuvwxyzazab
55	3779	ፕሮቴሰስቀውአክሙያዎችፍናግዕዝያ	8050	cdefghijklmnpqrst
56	2640	ፍናግዕዝያ	6385	mnopqrstuvwxyzazabgδεζηጥዥለምና
57	1117	ወ	1299	ካዥያ
58	2227	የጃሻኩዥያ	5574	stuuvwxyzazabgδεζηጥዥለምናስጥርሱስቀውአክ
59	1157	ወ	4557	ድድሪጥዥለምናስጥርሱስቀውአክሙያዎችፍናግዕዝያ
60	4914	ብግድናግዕዝያ	7554	fghijklmnpqrstuvwxyz
61	2224	የጃሻኩዥያ	3712	የፕሮቴሰስቀውአክሙያዎችፍናግዕዝያ
62	3030	ወጥያዎችፍናግዕዝያ	8035	cdefghijklmnpqrst
63	3553	ስቱቀውአክሙያዎችፍናግዕዝያ	3685	የፕሮቴሰስቀውአክሙያዎችፍናግዕዝያ
64	3046	ወጥያዎችፍናግዕዝያ	10511	abc
65	2488	ፍናግዕዝያ	6892	jklmnpqrstuvwxyzazabgδεζηጥ
66	2907	የዋኝዎችፍናግዕዝያ	3157	አክሙያዎችፍናግዕዝያ
67	3509	ቱቀውአክሙያዎችፍናግዕዝያ	6462	klmnpqrstuvwxyzazabgδεζηጥ
68	6741	jklmnpqrstuvwxyzazabgδεζηጥ	6720	jklmnpqrstuvwxyzazabgδεζηጥ
69	4318	ስጥርሱስቀውአክሙያዎችፍናግዕዝያ	8775	bcdedghijklmn
70	4476	ኅኖጥዥለምናስጥርሱስቀውአክሙያዎችፍናግዕዝያ	9622	bcdedghijklmn
71	6388	lmnpqrstuvwxyzazabgδεζηጥ	6809	jklmnpqrstuvwxyzazabgδεζηጥ
72	3462	սቀውአክሙያዎችፍናግዕዝያ	9576	bcdedghijklmn
73	4956	ብግድናግዕዝያ	5810	stuuvwxyzazabgδεζηጥዥለምናስጥርሱስቀውአክ
74	5292	wxyzazabgδεζηጥዥለምናስጥርሱስቀውአክሙያዎችፍናግዕዝያ	6219	nopqrstuvwxyzazabgδεζηጥዥለምናስጥርሱስቀውአክ
75	3738	ፕሮቴሰስቀውአክሙያዎችፍናግዕዝያ	10374	abcd
76	3214	ψውአክሙያዎችፍናግዕዝያ	5649	stuuvwxyzazabgδεζηጥዥለምናስጥርሱስቀውአክ
77	6729	jklmnpqrstuvwxyzazabgδεζηጥ	6832	jklmnpqrstuvwxyzazabgδεζηጥ
88	4571	ድድሪጥዥለምናስጥርሱስቀውአክሙያዎችፍናግዕዝያ	8044	cdefghijklmnpqrst
89	2741	ኅዎችፍናግዕዝያ	4007	ምናስጥርሱስቀውአክሙያዎችፍናግዕዝያ
90	3255	ቁቅአክሙያዎችፍናግዕዝያ	4437	ድድሪጥዥለምናስጥርሱስቀውአክሙያዎችፍናግዕዝያ
92	3245	ቁቅአክሙያዎችፍናግዕዝያ	5251	wxyzazabgδεζηጥዥለምናስጥርሱስቀውአክሙያዎችፍናግዕዝያ
93	5770	stuuvwxyzazabgδεζηጥዥለምናስጥርሱስቀውአክ	5287	wxyzazabgδεζηጥዥለምናስጥርሱስቀውአክሙያዎችፍናግዕዝያ
94	3088	ፋይጥዥለምናግዕዝያ	6706	jklmnpqrstuvwxyzazabgδεζηጥ
95	6227	nopqrstuvwxyzazabgδεζηጥ	9071	bcdedghijklmn

96	3075	ΚβθΥφωκΩςξεζηψηεαχδτκρθβ	7749	efghijklmnopqrstuvwxyz
97	4581	γδεζηθικλμνξοπρςτυφχψωκβθΥφωκΩςξεζηψη	5659	stuvwxyzαβγδεζηθικλμνξοπρςτυφχψωκ
98	1522	χδτκρθβ	6492	jklmnopqrstuvwxyzαβγδεζηθικλμ
99	7280	għijijklmnopqrstuvwxyzαβ	4919	βγδεζηθικλμνξοπρςτυφχψωκβθΥφωκΩςξεζηψη
100	2059	ηεαχδτκρθβ	4549	δεζηθικλμνξοπρςτυφχψωκβθΥφωκΩςξεζηψη
102	5476	τuvwxzyazabγδεζηθικλμνξοπρςτυφχψωκβθΥ	7928	cdefghijklmnopqrstuvwxyz
103	4923	βγδεζηθικλμνξοπρςτυφχψωκβθΥφωκΩςξεζηψη	10239	abcde
104	5367	vwxyzazabγδεζηθικλμνξοπρςτυφχψωκβθΥφω	6203	nopqrstuvwxyzazabγδεζηθικλμνξοπρς
105	6190	nopqrstuvwxyzazabγδεζηθικλμνξοπρς	9979	bcd
106	2592	ζεζηψηεαχδτκρθβ	5002	αβγδεζηθικλμνξοπρςτυφχψωκβθΥφωκΩςξεζηψη
107	2833	φωκΩςξεζηψηεαχδτκρθβ	2476	ζεζηψηεαχδτκρθβ
108	4328	ηθικλμνξοπρςτυφχψωκβθΥφωκΩςξεζηψη	6663	jklmnopqrstuvwxyzazabγδεζηθικλμ
109	3952	νξοπρςτυφχψωκβθΥφωκΩςξεζηψηεαχδτ	4728	βγδεζηθικλμνξοπρςτυφχψωκβθΥφωκΩςξεζηψη
110	3764	πρςτυφχψωκβθΥφωκΩςξεζηψηεαχδτ	2898	ΥφωκΩςξεζηψηεαχδτκρθβ
111	5364	vwxyzazabγδεζηθικλμνξοπρςτυφχψωκβθΥφω	9536	bcd
112	1609	χδτκρθβ	2283	ψηεαχδτκρθβ
113	5272	xyzaβγδεζηθικλμνξοπρςτυφχψωκβθΥφω	6056	pqrstuvwxyzazabγδεζηθικλμνξοπρς
114	3026	θθΥφωκΩςξεζηψηεαχδτκρθβ	5755	stuvwxyzazabγδεζηθικλμνξοπρς
115	4514	δεζηθικλμνξοπρςτυφχψωκβθΥφωκΩςξεζηψη	6425	klmnopqrstuvwxyzazabγδεζηθικλμνξ
116	3032	θθΥφωκΩςξεζηψηεαχδτκρθβ	3512	τυφχψωκβθΥφωκΩςξεζηψηεαχδτκρθβ
117	2440	ζεζηψηεαχδτκρθβ	2195	ψηεαχδτκρθβ

*grupos con similar rendimiento fueron indicados con igual color.

Tabla 8.5 Test de LSD para Nes.p.m-2($p<0,05$) LSD=240,65 para interacción genotipo x tratamiento. (a) mayor Nes.p.m-2 (amarillo); (φ) menor Nes.p.m-2 (celeste).

CV	SF	significancia SF	espigas.m ⁻²	
			CF	significancia CF
1	489,5	rstuvwxyzazabγδεζηθικλμνξοπρς	431,3	αβγδεζηθικλμνξοπρς
2	537,8	mn̄opqrstuvwxyzazabγδεζηθικλμνξοπρς	899,6	abcde
3	623,4	fghijklmn̄opqrstuvwxyzazabγδεζηθι	487,9	rstuvwxyzazabγδεζηθικλμνξοπρς
4	678,6	efghijklmn̄opqrstuvwxyz	669,3	efghijklmn̄opqrstuvwxyz
5	702,4	efghijklmn̄opqrstu	563,5	klmn̄opqrstuvwxyzazabγδεζηθικλμνξοπρς
6	322,1	στυφ	517,2	pqrstuvwxyzazabγδεζηθικλμνξοπρς
7	388,7	ικλμνξοπρςτυφ	614,5	fghijklmn̄opqrstuvwxyzazabγδεζηθικλ
8	496,4	rstuvwxyzazabγδεζηθικλμνξοπρς	592,2	hijklmn̄opqrstuvwxyzazabγδεζηθικλμνξ
9	377,5	λμνξοπρςτυφ	359,5	νξοπρςτυφ
10	497,3	rstuvwxyzazabγδεζηθικλμνξοπρς	454,7	wxyzazabγδεζηθικλμνξοπρς
11	469,1	tuvwxyzazabγδεζηθικλμνξοπρςτυφ	518,5	pqrstuvwxyzazabγδεζηθικλμνξοπρς
12	481,9	rstuvwxyzazabγδεζηθικλμνξοπρςτυφ	534	ηπορqrstuvwxyzazabγδεζηθικλμνξοπρς
13	475,9	rstuvwxyzazabγδεζηθικλμνξοπρςτυφ	704,4	efghijklmn̄opqrst
14	414,5	γδεζηθικλμνξοπρςτυφ	631,7	fghijklmn̄opqrstuvwxyzazabγδεζηθ
15	363,2	νξοπρςτυφ	551,3	lmn̄opqrstuvwxyzazabγδεζηθικλμνξοπρς
16	527,6	ηπορqrstuvwxyzazabγδεζηθικλμνξοπρς	703,5	efghijklmn̄opqrst
17	289,1	στυφ	532	ηπορqrstuvwxyzazabγδεζηθικλμνξοπρς
18	486,9	rstuvwxyzazabγδεζηθικλμνξοπρς	692,6	efghijklmn̄opqrstuvwxyz
19	547,7	lmn̄opqrstuvwxyzazabγδεζηθικλμνξοπρς	710,7	defghijklmn̄opqrst
20	611,4	fghijklmn̄opqrstuvwxyzazabγδεζηθικλ	671,3	efghijklmn̄opqrstuvwxyz
21	290,9	στυφ	519,8	opqrstuvwxyzazabγδεζηθικλμνξοπρς
22	517,3	pqrstuvwxyzazabγδεζηθικλμνξοπρς	385,3	ικλμνξοπρςτυφ

23	437	γαβγδεζηικλμνξοπρστυφ	472,3	rstuvwxzαβγδεζηθικλμνξοπρστυφ
24	481,3	rstuvwxzαβγδεζηθικλμνξοπρστυ	605,6	fghijklmnñopqrstuvwxzαβγδεζηθικλμ
25	419,4	βγδεζηθικλμνξοπρστυφ	456,6	vwxzαβγδεζηθικλμνξοπρστυφ
26	543,9	mnñopqrstuvwxzαβγδεζηθικλμνξοπρς	571,7	klmnñopqrstuvwxzαβγδεζηθικλμνξοπρ
27	411,6	δεζηθικλμνξοπρστυφ	505,9	rstuvwxzαβγδεζηθικλμνξοπρστ
28	457,1	vwxzαβγδεζηθικλμνξοπρστυφ	514,4	pqrstuvwxzαβγδεζηθικλμνξοπρς
29	579,3	jklmnñopqrstuvwxzαβγδεζηθικλμνξο	787,3	bcdefghijkl
30	378,3	λμνξοπρστυφ	691,3	efghijklmnñopqrstuvw
31	336	ρστυφ	396,6	θικλμνξοπρστυφ
32	581,2	ijklmnñopqrstuvwxzαβγδεζηθικλμνξο	625,9	fghijklmnñopqrstuvwxzαβγδεζηθι
33	376,1	λμνξοπρστυφ	604	fghijklmnñopqrstuvwxzαβγδεζηθικλμ
34	297,2	στυφ	620,9	fghijklmnñopqrstuvwxzαβγδεζηθικ
35	476,9	rstuvwxzαβγδεζηθικλμνξοπρστυ	587,7	ijklmnñopqrstuvwxzαβγδεζηθικλμνξ
36	504,2	rstuvwxzαβγδεζηθικλμνξοπρςτ	760,3	bcdefghijklmnñop
37	343	οπρστυφ	588,3	hijklmnñopqrstuvwxzαβγδεζηθικλμνξ
38	514,1	qrstuvwxzαβγδεζηθικλμνξοπρς	641,9	fghijklmnñopqrstuvwxzαβγδεζ
39	359,8	νξοπρστυφ	516,7	pqrstuvwxzαβγδεζηθικλμνξοπρς
40	749,4	bcdefghijklmnñopq	530,9	nñopqrstuvwxzαβγδεζηθικλμνξοπρς
41	423,7	βγδεζηθικλμνξοπρστυφ	798	bcdefghijk
42	328,6	ζτυφ	483,2	rstuvwxzαβγδεζηθικλμνξοπρστυ
43	598,8	ghijklmnñopqrstuvwxzαβγδεζηθικλμν	528,7	ñopqrstuvwxzαβγδεζηθικλμνξοπρς
44	519,6	pqrstuvwxzαβγδεζηθικλμνξοπρς	485,9	rstuvwxzαβγδεζηθικλμνξοπρστυ
47	337	πρστυφ	491,7	rstuvwxzαβγδεζηθικλμνξοπρστ
48	514,4	pqrstuvwxzαβγδεζηθικλμνξοπρς	471,4	stuvwxzαβγδεζηθικλμνξοπρστυφ
49	421,4	βγδεζηθικλμνξοπρστυφ	481,1	rstuvwxzαβγδεζηθικλμνξοπρστυ
50	519,7	ορqrstuvwxzαβγδεζηθικλμνξοπρς	676,2	efghijklmnñopqrstuvwxz
51	697,1	efghijklmnñopqrstuv	543,9	mnñopqrstuvwxzαβγδεζηθικλμνξοπρς
52	620,4	fghijklmnñopqrstuvwxzαβγδεζηθικ	836,9	abcdefg
53	612,4	fghijklmnñopqrstuvwxzαβγδεζηθικλ	666,7	efghijklmnñopqrstuvwxzα
54	398,1	θικλμνξοπρστυφ	595	hijklmnñopqrstuvwxzαβγδεζηθικλμνξ
55	649,2	fghijklmnñopqrstuvwxzαβγ	702,9	efghijklmnñopqrst
56	390,4	ικλμνξοπρστυφ	521,7	ñopqrstuvwxzαβγδεζηθικλμνξοπρς
57	631,6	fghijklmnñopqrstuvwxzαβγδεζηθ	615,9	fghijklmnñopqrstuvwxzαβγδεζηθικλ
58	656	fghijklmnñopqrstuvwxzαβ	747,2	cdefghijklmnñopq
59	285	στυφ	460	vwxzαβγδεζηθικλμνξοπρστυφ
60	400,6	ηθικλμνξοπρστυφ	535,5	mnñopqrstuvwxzαβγδεζηθικλμνξοπρς
61	421,3	βγδεζηθικλμνξοπρστυφ	550,2	lmnñopqrstuvwxzαβγδεζηθικλμνξοπρς
62	531,2	nñopqrstuvwxzαβγδεζηθικλμνξοπρς	828,6	abcdefghijklm
63	672,6	efghijklmnñopqrstuvwxz	589,2	hijklmnñopqrstuvwxzαβγδεζηθικλμνξ
64	418,3	βγδεζηθικλμνξοπρστυφ	836,5	abcdefg
65	406,2	εζηθικλμνξοπρστυφ	640,4	fghijklmnñopqrstuvwxzαβγδεζη
66	599,5	ghijklmnñopqrstuvwxzαβγδεζηθικλμν	606,4	fghijklmnñopqrstuvwxzαβγδεζηθικλμνξ
67	545	mnñopqrstuvwxzαβγδεζηθικλμνξοπρς	775,8	bcdefghijklm
68	514,9	pqrstuvwxzαβγδεζηθικλμνξοπρς	472,9	rstuvwxzαβγδεζηθικλμνξοπρστυφ
69	673,7	efghijklmnñopqrstuvwxz	1047	a
70	532,2	nñopqrstuvwxzαβγδεζηθικλμνξοπρς	988	ab
71	472	rstuvwxzαβγδεζηθικλμνξοπρστυφ	544	mnñopqrstuvwxzαβγδεζηθικλμνξοπρς

72	505,9	rstuvwxyzazabgdezetaiklmnxitoprcst	818,5	abcdefghij
73	701,7	efghijklmnñopqrstu	708	efghijklmnñopqrst
74	514,9	pqrstuvwxyzazabgdezetaiklmnxitoprcs	590,8	hijklmnñopqrstuvwxyzazabgdezetaiklmnxi
75	391,4	Thetaiklmnxitoprcstuf	705,4	efghijklmnñopqrst
76	610,2	fghijklmnñopqrstuvwxyzazabgdezetaikl	712,6	defghijklmnñopqr
77	643,5	fghijklmnñopqrstuvwxyzazabgde	654,4	fghijklmnñopqrstuvwxyzazabg
88	655,6	fghijklmnñopqrstuvwxyzazab	965,5	abc
89	365,6	lamnxitoprcstuf	514,3	qrstuvwxyzazabgdezetaiklmnxitoprcs
90	435,1	zaabgdezetaiklmnxitoprcstuf	543,3	mnñopqrstuvwxyzazabgdezetaiklmnxitoprcs
92	447,3	xyzazabgdezetaiklmnxitoprcstuf	389,5	iklmnxitoprcstuf
93	491,2	rstuvwxyzazabgdezetaiklmnxitoprcst	460,6	vwwxyzazabgdezetaiklmnxitoprcstuf
94	378,8	lamnxitoprcstuf	795,8	bcdedfghijk
95	769,4	bcdedfghijklmn	843	abcdef
96	402,1	zetaiklmnxitoprcstuf	761,3	bcdedfghijklmnñ
97	436,1	yzazabgdezetaiklmnxitoprcstuf	484,8	rstuvwxyzazabgdezetaiklmnxitoprcst
98	269,1	tuuf	421,1	bgdezetaiklmnxitoprcstuf
99	821,6	abcdefghi	578,6	jkilmnñopqrstuvwxyzazabgdezetaiklmnxi
100	233,6	phi	319,7	stuuf
102	761,9	bcdedfghijklmnñ	837,8	abcdefg
103	462,2	uvvxyzazabgdezetaiklmnxitoprcstuf	950,6	abcd
104	448,1	xyzazabgdezetaiklmnxitoprcstuf	550,8	lmnñopqrstuvwxyzazabgdezetaiklmnxitoprcs
105	577,5	klmnnñopqrstuvwxyzazabgdezetaiklmnxi	755	bcdedfghijklmnñop
106	390,2	iklmnxitoprcstuf	510,1	qrstuvwxyzazabgdezetaiklmnxitoprcs
107	411,6	deltaiklmnxitoprcstuf	599,4	ghijklmnñopqrstuvwxyzazabgdezetaiklmn
108	332,9	rcstuf	416	bgdezetaiklmnxitoprcstuf
109	545,6	mnñopqrstuvwxyzazabgdezetaiklmnxitoprcs	648,9	fghijklmnñopqrstuvwxyzazabg
110	472	rstuvwxyzazabgdezetaiklmnxitoprcstuf	474,8	rstuvwxyzazabgdezetaiklmnxitoprcst
111	477,3	rstuvwxyzazabgdezetaiklmnxitoprcst	586	ijklmnñopqrstuvwxyzazabgdezetaiklmnxi
112	245,7	uuf	380,9	iklmnxitoprcstuf
113	540,3	mnñopqrstuvwxyzazabgdezetaiklmnxitoprcs	490,7	rstuvwxyzazabgdezetaiklmnxitoprcst
114	443,9	xyzazabgdezetaiklmnxitoprcstuf	550,4	lmnñopqrstuvwxyzazabgdezetaiklmnxitoprcs
115	408,1	epsiloniklmnxitoprcstuf	491,8	rstuvwxyzazabgdezetaiklmnxitoprcst
116	324,2	cstuf	357,5	xioprcstuf
117	681,5	efghijklmnñopqrstuvwxyz	468,4	tuvwxyzazabgdezetaiklmnxitoprcstuf

*grupos con similar Nesp.m-2 fueron indicados con igual color.

Tabla 8.6 Test de LSD para NG.esp ($p<0,001$) LSD=4,265 para interacción genotipo x tratamiento. (a) mayor NG.esp (amarillo); (W) menor NG.esp (celeste).

CV	SF	Significancia	NG*esp	
			CF	Significancia
1	36,45	fghijklm	31,58	opqrstuvwxyzazabg
2	26,08	iklmnxitoprcstufxphwakbthyfawzqcfzq	33,00	jkilmnñopqrstuv
3	29,65	tuvwxyzazabgdezetaiklmn	25,62	muñoprcstufxphwakbthyfawzqcfzq
4	30,24	stuvwxyzazabgdezetaikl	37,10	fghijk
5	21,00	Xbetaiklmnxitoprcstuf	21,00	Xbetaiklmnxitoprcstuf
6	30,06	tuvwxyzazabgdezetaikl	23,00	Yfawzqcfzq
7	30,48	qrstuvwxyzazabgdezetaik	39,40	cdef

8	23,93	ფხვაკბზუფანიცენაშეაგანტირთ	30,13	stuvnwxzazabgdezeni
9	24,53	პრისტუფანიცენაშეაგანტირთ	36,58	fghijkl
10	23,43	აკბზუფანიცენაშეაგანტირთ	26,00	იკლინიკისტუფანიცენაშეაგანტირთ
11	20,46	თივეებიცენერენტ	25,03	იორისტუფანიცენაშეაგანტირთ
12	25,45	ნეიტრისტუფანიცენაშეაგანტირთ	26,75	კლიმანიკისტუფანიცენაშეაგანტირთ
13	28,90	ვავაკბზუფანიცენაშეაგანტირთ	30,68	qrstuwnwxzazabgdezeni
14	31,00	რერსტუნვაზაბგდეც	28,25	ყავაბგდეციტიკლინიკისტი
15	27,58	ბენენიკლიმანიკისტუფანიცენაშეაგანტირთ	26,65	იმიკლიმანიკისტუფანიცენაშეაგანტირთ
16	28,23	ვავაბგდეციტიკლიმანიკისტი	27,68	ბენენიკლიმანიკისტუფანიცენაშეაგანტირთ
17	31,95	პირირსტუნვაზა	30,70	qrstuwnwxzazabgdezeni
18	26,65	იმიკლიმანიკისტუფანიცენაშეაგანტირთ	25,75	მუნიკისტუფანიცენაშეაგანტირთ
19	25,53	ნეიტრისტუფანიცენაშეაგანტირთ	31,25	პრერსტუნვაზაბგდეც
20	23,34	კბზუფანიცენაშეაგანტირთ	24,03	თუფანიცენაშეაგანტირთ
21	10,45	შ	30,13	stuvnwxzazabgdezeni
22	23,55	ფანიცენაშეაგანტირთ	27,45	გენენიკლიმანიკისტუფანიცენაშეაგანტირთ
23	20,10	ერეებიცენერენტ	23,50	ფანიცენაშეაგანტირთ
24	18,40	ცენერენტიკლიფც	33,25	jklmnopqrstu
25	24,20	სუფანიცენაშეაგანტირთ	25,13	იორისტუფანიცენაშეაგანტირთ
26	27,20	ენემიკლიმანიკისტუფანიცენაშეაგანტირთ	22,40	ცენაშეაგანტირთ
27	26,08	იკლიმანიკისტუფანიცენაშეაგანტირთ	27,68	ბენენიკლიმანიკისტუფანიცენაშეაგანტირთ
28	35,05	ghijklmnop	39,13	defg
29	33,55	ijklmnopqrstu	32,60	lmnopqrstu
30	24,98	იორისტუფანიცენაშეაგანტირთ	29,83	tuvnwxzazabgdezeni
31	28,75	ვავაზაბგდეციტიკლიმანიკი	43,65	abcd
32	28,01	ვავაბგდეციტიკლიმანიკი	33,28	jklmnopqrstu
33	25,15	იორისტუფანიცენაშეაგანტირთ	31,50	օპრსტუნვაზაბგდეც
34	34,33	ijklmnopqrs	38,70	efgh
35	23,98	სუფანიცენაშეაგანტირთ	24,25	სუფანიცენაშეაგანტირთ
36	18,25	წერენტიკლიფც	34,55	ijklmnopqr
37	20,35	თივეებიცენერენტ	45,80	abc
38	23,20	ვეუფანიცენაშეაგანტირთ	32,00	nopqrstu
39	19,03	ერეებიცენერენტ	28,35	xvza
40	24,88	იორისტუფანიცენაშეაგანტირთ	37,23	fghij
41	37,55	fghi	38,83	efgh
42	27,25	ენემიკლიმანიკისტუფანიცენაშეაგანტირთ	28,83	ვავაზაბგდეციტიკლიმანიკი
43	25,90	ლუნიკისტუფანიცენაშეაგანტირთ	31,65	օპრსტუნვაზაბგდეც
44	24,95	იორისტუფანიცენაშეაგანტირთ	32,30	mnopqrstu
47	26,40	თიკლიმანიკისტუფანიცენაშეაგანტირთ	27,10	ენემიკლიმანიკისტუფანიცენაშეაგანტირთ
48	36,73	fghijkl	33,75	ijklmnopqrstu
49	19,77	თეებიცენერენტ	18,54	ცენერენტიკლიფც
50	23,83	ჯურიცენაშეაგანტირთ	26,58	იმიკლიმანიკისტუფანიცენაშეაგანტირთ
51	21,95	ჰენენტიკლიმანიკი	23,53	ფანიცენაშეაგანტირთ
52	25,60	მუნიკისტუფანიცენაშეაგანტირთ	23,75	ჯურიცენაშეაგანტირთ
53	28,68	ვავაზაბგდეციტიკლიმანიკი	27,53	გენენიკლიმანიკისტუფანიცენაშეაგანტირთ
54	29,63	тувнху	36,18	fghijklmn
55	22,18	ცენაშეაგანტირთ	28,10	ყავაბგდეციტიკლიმანიკისტუფანიცენაშეაგანტირთ
56	33,18	ijklmnopqrstu	36,93	fghijk

57	14,66	ცЧშ	14,66	ცЧშ
58	22,55	კისერული აუტომატური განვითარების მინისტრი	26,88	კისერული აუტომატური განვითარების მინისტრი
59	22,93	უფრო და უძლიერი განვითარების მინისტრი	36,68	fghijkl
60	27,99	კაბინეტის მინისტრი	29,58	თუმცა განვითარების მინისტრი
61	17,90	საქართველოს მთავრობის მინისტრი	21,68	საქართველოს მთავრობის მინისტრი
62	20,65	საქართველოს მთავრობის მინისტრი	26,90	კისერული აუტომატური განვითარების მინისტრი
63	23,56	უფრო და უძლიერი განვითარების მინისტრი	23,99	უფრო და უძლიერი განვითარების მინისტრი
64	34,35	იურიდიკური მინისტრი	47,28	ა
65	26,63	მთავრობის მინისტრი	27,73	მთავრობის მინისტრი
66	21,28	საქართველოს მთავრობის მინისტრი	17,70	საქართველოს მთავრობის მინისტრი
67	21,05	საქართველოს მთავრობის მინისტრი	17,96	საქართველოს მთავრობის მინისტრი
68	30,78	კაბინეტის მინისტრი	29,48	კაბინეტის მინისტრი
69	24,43	კაბინეტის მინისტრი	25,87	კაბინეტის მინისტრი
70	32,85	კაბინეტის მინისტრი	29,30	კაბინეტის მინისტრი
71	32,28	კაბინეტის მინისტრი	27,45	კაბინეტის მინისტრი
72	25,02	კაბინეტის მინისტრი	34,68	კაბინეტის მინისტრი
73	31,18	კაბინეტის მინისტრი	25,48	კაბინეტის მინისტრი
74	23,08	კაბინეტის მინისტრი	23,43	კაბინეტის მინისტრი
75	34,39	იურიდიკური მინისტრი	36,28	fghijklm
76	24,85	კაბინეტის მინისტრი	26,30	კაბინეტის მინისტრი
77	28,79	კაბინეტის მინისტრი	26,75	კაბინეტის მინისტრი
88	30,75	კაბინეტის მინისტრი	30,80	კაბინეტის მინისტრი
89	21,53	კაბინეტის მინისტრი	20,15	კაბინეტის მინისტრი
90	17,53	კაბინეტის მინისტრი	22,69	კაბინეტის მინისტრი
92	26,58	მთავრობის მინისტრი	42,83	bcdē
93	26,30	მთავრობის მინისტრი	24,55	მთავრობის მინისტრი
94	21,60	კაბინეტის მინისტრი	20,43	კაბინეტის მინისტრი
95	21,05	კაბინეტის მინისტრი	25,15	კაბინეტის მინისტრი
96	21,19	კაბინეტის მინისტრი	22,08	კაბინეტის მინისტრი
97	31,83	კაბინეტის მინისტრი	29,85	კაბინეტის მინისტრი
98	25,10	კაბინეტის მინისტრი	35,65	fghijklmnō
99	21,43	კაბინეტის მინისტრი	18,33	კაბინეტის მინისტრი
100	28,63	კაბინეტის მინისტრი	35,98	fghijklmnō
102	14,91	ფინანსთა მინისტრი	19,63	ფინანსთა მინისტრი
103	23,23	ფინანსთა მინისტრი	21,90	ფინანსთა მინისტრი
104	24,55	ფინანსთა მინისტრი	22,48	ფინანსთა მინისტრი
105	24,73	ფინანსთა მინისტრი	26,68	ფინანსთა მინისტრი
106	15,53	ფინანსთა მინისტრი	21,93	ფინანსთა მინისტრი
107	16,48	ფინანსთა მინისტრი	11,85	ცშ
108	33,83	კაბინეტის მინისტრი	38,85	efgh
109	19,83	კაბინეტის მინისტრი	19,73	კაბინეტის მინისტრი
110	19,45	კაბინეტის მინისტრი	15,55	ჯლფც
111	24,40	კაბინეტის მინისტრი	30,33	რსული მინისტრი
112	15,43	კაბინეტის მინისტრი	14,60	ცЧშ
113	26,75	კაბინეტის მინისტრი	26,00	კაბინეტის მინისტრი
114	16,85	კაბინეტის მინისტრი	24,53	კაბინეტის მინისტრი
115	22,63	კაბინეტის მინისტრი	23,38	კაბინეტის მინისტრი

116	27,53	γδεζηθικլմնξօպրցտսփչպակ	26,05	կլմնξօպրցտսփչպակթթվաշօցհա
117	30,75	qrstuvwxyzabgdezeta	36,60	fghijkl

*grupos con similar NG.esp fueron indicados con igual color.

Tabla 8.7 Test de LSD para PMG ($p<0,001$) LSD=4,505 para interacción genotipo x tratamiento. (a) mayor PMG (amarillo); (w) menor PMG (celeste).

PMG				
CV	SF	significancia	CF	Significancia
1	30,58	աշօգչէֆհհապի	37,4	թիկլմնξօպրցտսփչպա
2	32,66	յօնքթթվաշօցհա	42,81	նորզրտւնախցաբցե
3	23,94	ազթեթիթօցհա	36,77	լմնξօպրցտսփչպա
4	24,65	հճութեթիթօցհա	31,71	թթվաշօցհա
5	19,19	լիեհդյկպ	22,91	թեթիթօցհալիե
6	36,84	կլմնξօպրցտսփչպա	40,18	խցաբցեզթիկլմնօ
7	20,07	նիլիեհդյ	28,19	բհհապիաշճու
8	35,02	բշտուփչպա	50,25	cde
9	18,57	իհդյկպ	34,58	տսփչպա
10	14,73	պշ	21,44	թիթօցհալիե
11	37,55	ոթիկլմնօպրցտսփչպ	45,99	efghijklmnñop
12	21,06	թիթօցհալիե	31,05	յաշօգչէֆհհա
13	23,67	օթեթիթօցհա	32,8	յօնքթթվաշօցհա
14	35,8	օպրցտուփչպա	42,42	նորզրտւնախցաբցե
15	30,03	օգչէֆհհապի	45,76	efghijklmnñopq
16	29,24	հիֆհհապիա	31,09	յաշօգչէֆհհա
17	41,33	qrstuvwxyzabgdezeta	44,34	lmnñopqrstuvwxyz
18	28,62	հիֆհհապիաշճու	32,93	աշճութթվաշօցհա
19	28,92	հիֆհհապիաշճ	31,68	թթվաշօցհա
20	30,76	աշօգչէֆհհապ	37,43	թիկլմնξօպրցտսփչպա
21	20,66	նիլիեհդյ	25,36	շճութեթիթօցհ
22	44,22	lmnñopqrstuvwxyz	42,26	նորզրտւնախցաբցե
23	43,8	տոնդուրախցաբ	54,81	b
24	24,69	հճութեթիթօցհա	44,13	lmnñopqrstuvwxyz
25	39,07	ծեզիթիկլմնօպրցտ	42,65	նորզրտւնախցաբցե
26	31,98	օնքթթվաշօցհա	40,35	ախցաբցեզթիկլմնօ
27	35,36	բշտուփչպա	49,07	defghijk
28	40,88	տսփչպա	44,83	ijklmnñopqrstuv
29	39,95	աշճութիկլմնօպ	42,17	նորզրտւնախցաբցե
30	14,74	պշ	33,89	փչպա
31	16,26	դյկպ	36,2	չօպրցտսփչպա
32	28,46	բհհապիաշճու	36,84	կլմնξօպրցտսփչպա
33	22,63	թեթիթօցհալի	35,5	բրցտուփչպա
34	26,29	պիաշճութե	36,41	մնօպրցտսփչպա
35	40,06	յաբցեզթիկլմնօ	60,67	a
36	15,81	ժյկպ	29,11	հիֆհհապիա
37	19,88	նիլիեհդյ	33,18	պա
38	29,86	օգչէֆհհապի	42,03	օրգրտւնախցաբցե
39	38,85	էշիթիկլմնօպրցտ	38,45	էշիթիկլմնօպրցտ

40	12,95	ш	24,66	ՃԵՒՋԹԵՅԲՐԸ
41	24,18	ԴԿԹԵՅԲՐԸ	32,65	ՅՈՒՅԹՎԱԿՕԳՀՅՖ
42	39,15	ԿԴԵՇԴԹԻԼՄՆՀՈՊՐԸ	45,41	ՂԻՋԿԼՄՆՅՈՐՔՐԸ
43	37,06	ԱԿԼՄՆԽՈՊՐԾՈՒՓԽՎԱԾԸ	43,44	ՈՆՅՈՐՔՐՏՈՒՎԽՎԱՅԴ
44	33,07	ՎՍԽՎԱԾԸՅԹՎԱԿՕԳՀՅ	43,62	ՈՆՅՈՐՔՐՏՈՒՎԽՎԱՅ
47	44,87	ՀԻՋԿԼՄՆՅՈՐՔՐՏԸ	51,5	bcd
48	35,34	ՊԾԾՈՒՓԽՎԱԾԸՅԹՎԱԿ	49,12	defghij
49	41	ՏՄՎԽՎԱՅԴԵՇԴԹԻԿԸ	45,75	efghijklmnյօրգ
50	34,05	ՍՓԽՎԱԾԸՅԹՎԱԿՕԳՀՅ	43,75	ՄՆՅՈՐՔՐՏՈՒՎԽՎԱՅ
51	25,84	ՃՃԵՒՋԹԵՅԲՐԸ	37,31	ԹԱԿԼՄՆԽՈՊՐԾՈՒՓԽՎԱԾ
52	42,71	ՈՆՅՈՐՔՐՏՈՒՎԽՎԱՅԴ	39,99	ՅԱՅԴԵՇԴԹԻԼՄՆԽՈՊ
53	40,78	ՏՄՎԽՎԱՅԴԵՇԴԹԻԼՄՆ	46,27	efghijklmnյօր
54	24,59	ԾԵՒՋԹԵՅԲՐԸ	33,82	ԽՎԱԾԸՅԹՎԱԿՕԳՀՅ
55	26,05	ՃՃԵՇԴԵՇԴԹԵ	40,75	ՏՄՎԽՎԱՅԴԵՇԴԹԻԼՄՆ
56	19,53	ՐԼԻԵԴՋՓ	33	ՈՎԾԸՅԹՎԱԿՕԳՀՅ
57	12,07	ш	14,39	Վա
58	15,07	ՓԿՎա	27,83	ԿՎՊՎԵՑՃԵՇԴԵ
59	17,69	ԴՋՓՎ	27	ՎՎԵՑՃԵՇԴԵ
60	43,98	ԼՄՆՅՈՐՔՐՏՈՒՎԽՎԱ	48,17	defghijklm
61	29,63	ՕԳՀՅԲՀԿՎՎՎԵ	31,68	ՅԹՎԱԿՕԳՀՅԲՀԿՎ
62	26,05	ՃՃԵՇԴԵ	36,1	ԽՈՊԾԾՈՒՓԽՎԱԾԸ
63	22,64	ԵԹԲՐԸԵՐԼԻԵ	26,1	ԵՎՃԵՇԴԵ
64	21,19	ԲԲԸԵՐԼԻԵ	26,65	ՎՎԵՑՃԵՇԴԵ
65	22,2	ԵԹԲՐԸԵՐԼԻԵ	38,8	ԵՀԹԻԼՄՆԽՈՊԾ
66	22,77	ԵԹԲՐԸԵՐԼԻԵ	29,44	ՕԳՀՅԲՀԿՎՎՎԵ
67	30,71	ՎՎԳՀՅԲՀԿՎՎՎՎ	46,36	efghijklmnյօր
68	42,56	ՈՆՅՈՐՔՐՏՈՒՎԽՎԱՅ	48,2	defghijklm
69	26,33	ՎՎԵՑՃԵՇԴԵ	32,23	ՅՆՅԹՎԱԿՕԳՀՅԲՀԿ
70	25,64	ՃՃԵՇԴԵ	33,29	ԽՎԱԾԸՅԹՎԱԿՕԳՀՅ
71	42,27	ՈՆՅՈՐՔՐՏՈՒՎԽՎԱՅ	45,15	ghijklmnյօրքրտ
72	26,94	ՎՎԵՑՃԵՇԴԵ	33,8	ԽՎԱԾԸՅԹՎԱԿՕԳՀՅ
73	22,9	ԵԹԲԲԸԵՐԼԻԵ	32,2	ՅՆՅԹՎԱԿՕԳՀՅԲՀԿ
74	44,57	ԼՄՆՅՈՐՔՐՏՈՒՎ	44,72	jklmnյօրքրտուվ
75	27,63	ԿՎՎՎԵՑՃԵՇԴԵ	40,05	ՅԱՅԴԵՇԴԹԻԼՄՆ
76	21,34	ԲԲԸԵՐԼԻԵ	30,12	ԿՕԳՀՅԲՀԿՎՎՎԵ
77	36,32	ՎՆՈՊԾԾՈՒՓԽՎԱԾԸ	38,41	ԵՀԹԻԼՄՆԽՈՊԾ
88	22,69	ԵԹԲԲԸԵՐԼԻԵ	27,04	ՎՎԵՑՃԵՇԴԵ
89	34,04	ՍՓԽՎԱԾԸՅԹՎԱԿ	38,49	ԵՀԹԻԼՄՆԽՈՊԾ
90	42,63	ՈՆՅՈՐՔՐՏՈՒՎԽՎԱՅ	35,94	ԽՈՊԾԾՈՒՓԽՎԱԾԸ
92	27,3	ՎՎՎԵՑՃԵՇԴԵ	31,58	ՅԹՎԱԿՕԳՀՅԲՀԿՎ
93	44,6	ԼՄՆՅՈՐՔՐՏՈՒՎ	46,54	efghijklmnյօր
94	38,39	ԵՀԹԻԼՄՆԽՈՊԾ	41,22	րտուվխվայդեշդթիկլ
95	38,51	ԵՀԹԻԼՄՆԽՈՊԾ	42,62	ՈՆՅՈՐՔՐՏՈՒՎԽՎԱՅ
96	36,1	ԽՈՊԾԾՈՒՓԽՎԱԾԸ	46,21	efghijklmnյօր
97	33,16	ՎՎՎԵՑՃԵՇԴԵ	39,12	ՅԴԵՇԴԹԻԼՄՆԽՈՊԾ
98	22,37	ԵԹԲԲԸԵՐԼԻԵ	42,59	ՈՆՅՈՐՔՐՏՈՒՎԽՎԱՅ
99	41,43	ՔՏՈՒՎԽՎԱՅԴԵՇԴԹԻ	46,44	efghijklmnյօր

100	30,94	φωιΦοςΦιςΦωι	39,51	αβγδεζηθικλμνξοπρ
102	48,34	defghijkl	48,14	defghijklm
103	45,71	fghijklmnñopqr	49,26	cdefghi
104	48,97	defghijk	50,13	cdef
105	43,39	ηñopqrstuvwxyzαβγδ	49,4	cdefg
106	41,67	pqrstuvwxyzαβγδεζηθ	47,44	defghijklmn
107	42,08	ñopqrstuvwxyzαβγδεζ	34,91	ζστυφχψωϊšόύθθγφω
108	38,39	εζηθικλμνξοπρςτυφ	40,21	χγαβγδεζηθικλμνξ
109	36,78	λμνξοπρςτυφχψωϊ	36,87	κλμνξοπρςτυφχψωϊ
110	41,02	stuvwxyzαβγδεζηθικλ	39,46	βγδεζηθικλμνξοπρ
111	45,57	ghijklmnñopqr	53,7	bc
112	42,42	ñopqrstuvwxyzαβγδε	40,43	սvwxyzαβγδεζηθιկլմն
113	34,62	տսփχψωϊšόւթթγՓωι	47,35	defghijklmn
114	40,3	wxyzαβγδεζηθιկլմն	42,73	ñopqrstuvwxyzαβγδε
115	49,34	cdefghi	55,89	b
116	33,83	χψωϊšόւթթγՓωιΦ	37,75	ζηθιկլմնξոپրςտυփ
117	11,83	ш	12,85	ш

*grupos con similar PMG fueron indicados con igual color.

9 Bibliografía

Alexandratos, N., & Bruinsma, J. (2012). *World agriculture towards 2030/2050. The 2012 Revision.* (FAO Esa wokingpaper No. 12-03): pp. 147.

Andrade, F. (1998a). ¿Es posible satisfacer la creciente demanda de alimentos de la humanidad? *Revista Interciencia*, 23(5): 266–274.

Andrade, F. (1998b). Posibilidades de expansión de la producción agrícola. *Revista Interciencia*, 23(4): 218–226.

Annone, J.G. (2001). Principales enfermedades foliares del trigo asociadas a siembra directa en Argentina. Siembra Directa en el Cono Sur. PROCISUR, Montevideo. pp. 73-88.

Bancal, M.O., C. Robert & B. Ney (2007). Modelling wheat growth and yield losses from late epidemics of foliar diseases using loss of green leaf area per layer and pre-anthesis reserves. *Annals of Botany*. Oxford. 100: 777-789.

Bancal, M.O., R. Roche & P. Bancal (2008). Late Foliar Diseases in Wheat Crops Decrease Nitrogen Yield Through N Uptake Rather than Through Variations in N Remobilization. *Ann Bot* 102: 579-590.

Barberis, N. A. (2014). *Evolución y perspectiva mundial y nacional de la producción y el comercio de trigo.* (p. 22). Córdoba: INTA Manfredi.

Bertelsen, J.R., E. Neergaard & V. Smedegaard-Petersen (2001). Fungicidal effects of azoxystrobin and epoxiconazole on phyllospore fungi, senescence and yield of winter wheat. *Plant Pathol.* 50: 190–205.

Boote, K.J., J.W. Jones, J.W. Mishoe& R.D. Berger (1983). Coupling pests to crop growth simulators to predict yield reductions. *Phytopathology* 73: 1581-1587.

Borrás, L., Slafer, G. A., & Otegui, M. E. (2004). Seed dry weight response to source-sink manipulations in wheat, maize and soybean: a quantitative reappraisal. *Field Crops Research*, 86(2-3), 131-146.

Campbell C.L. & L.V. Madden (1990). Introduction to Plant Disease Epidemiology. John Wiley & Sons, New York, NY, USA.

Cárcova J., L. G. Abeledo, M. López Pererira (2004). Análisis de la generación del rendimiento: crecimiento, partición y componentes. En: Producción de granos. Bases funcionales para su manejo. Ed. Facultad de Agronomía. UBA. Ciudad de Buenos Aires. pp: 75-98.

Carignano, M., S.A. Staggenborg & J.P. Shroyer (2008). Management practices to minimize tan spot in a continuous wheat rotation. *Agronomy journal* 100:145–153.

Carmona, M., P. Cortese, M. Ferrazzini & O. Permingeat (1998). Control de la mancha amarilla. *Revista CREA* 213:54-56.

Carretero, R., M.O. Bancal& D.J. Miralles (2011). Effect of leaf rust (*Puccinia triticina*) on photosynthesis and related processes of leaves in wheat crops grown at two contrasting sites and with different nitrogen levels. *European Journal of Agronomy*. 35: 237-246.

Cubillos, A. G. (2003). La utilización de los recursos genéticos por la genotecnia. En: *Estrategias y Metodologías utilizadas en el Mejoramiento de Trigo*. Kohli, M. M.; Díaz, M.; Castro, M., Seminario Internacional, La Estanzuela, Uruguay. CIMMYT-INIA: 205-220.

Dimmock, J.P.R.E.&M.J. Gooding (2002). The effects of fungicide on rate and duration of grain filling in winter wheat in relation to maintenance of flag leaf green area. *Journal of Agricultural Science* 138: 1-16.

Duveiller, E., Singh, R. P., & Nicol, J. M. (2007). The challenges of maintaining wheat productivity: pests, diseases, and potential epidemics. *Euphytica*, 157(3), 417-430.

Evans, L.T., Wardlaw, I.F., Fischer, R.A. (1978). Wheat. Ed Evans, L.T. En "Crop Physiology". Cambridge University Press, GB. 101-149

FAO. (2017). *The future of food and agriculture*. Roma: FAO. Disponible en <http://www.fao.org/3/a-i6583e.pdf>. Último acceso: mayo 2017.

FAOSTAT. (2017) a partir de <http://www.fao.org/faostat/es/> Último acceso: mayo 2017.

Fischer, R.A. (1985). Number of kernel in wheat crops and the influence of solar radiation and temperature. *Journal of Agricultural Science* 105: 447-461.

Gardner F.P., Pearce, R.B., Mitchel, R.L. (1985.)*Physiology of crop plants*. Iowa State University Press. USA. P. 327.

Gooding, M.J., J.P. Dimmock, R.E. France & J. Jones (2000). Green leaf area decline of wheat flag leaves: the influence of fungicides and relationships with mean grain weight and grain yield.*Annals of Applied Biology* 136: 77–84.

Grafius, J. E. (1964). A Geometry for Plant Breeding. *CropScience*, 4(3), 241–246. Disponible en <https://doi.org/10.2135/cropsci1964.0011183X000400030001x>. Último acceso 2017.

Grossmann K & G. Retzlaff (1997). Bioregulatory effects of the fungicidal strobilurin kresoxim-methyl in wheat (*Triticum aestivum*). *Pesticide Science* 50: 11–20.

Heun, M., Schäfer-Pregl, R., Klawan, D., Castagna, R., Accerbi, M., Borghi, B., & Salamini, F. (1997). Site of Einkorn Wheat Domestication Identified by DNA Fingerprinting. *Science*, 278(5341), 1312–1314. <https://doi.org/10.1126/science.278.5341.1312>

Ishikawa, S., M.C. Hare & P.S. Kettlewell (2011). Effects of strobilurin fungicide programmes and fertilizer nitrogen rates on winter wheat: severity of *Septoria tritici*, leaf senescence and yield. *The Journal of Agricultural Science* 150: 1-16.

Jiménez Domínguez, R. V. (2010). Crisis global: neomalthusianos versus poblacioncitas. *Revista del Centro de Investigaciones Económicas, Administrativas y Sociales del Instituto Politécnico Nacional*, 2010(20), 69–81.

Kelley, K.W. (1993). Nitrogen and foliar fungicide effects on winter wheat. *Journal of Production Agriculture* 6:53–65.

Kelley, K.W. (2001). Planting date and foliar fungicide effects on yield components and grain traits of winter wheat. *Agronomy Jurnal* 93:380–389.

- Leitch, M. H., & Jenkins, P. D.** (1995). Influence of nitrogen on the development of Septoria epidemics in winter wheat. *The Journal of Agricultural Science*, 124(3), 361-368.
- Milne, A., N. Paveley, E. Audsley & D. Parson** (2007). The effect of fungicides on diseaseinduced yield loss in wheat. A model of the effect of fungicides on diseaseinduced yield loss, for use in wheat disease management decision support systems. *Annals of Applied Biology* 151: 113–125.
- Miralles, D. J., & Slafer, G. A.** (1997). Radiation interception and radiation use efficiency of near-isogenic wheat lines with different height. *Euphytica*, 97(2): 201–208.
- OECD/FAO** (2015), “Cereales”, in OCDE-FAO PerspectivasAgrícolas 2015, OECD Publishing, Paris. Pp 14
- Oerke, E. C., & Dehne, H. W.** (1997). Global crop production and the efficacy of crop protection-current situation and future trends. *European Journal of Plant Pathology*, 103(3), 203-215.
- Oerke, E. C., & Dehne, H. W.** (2004). Safeguarding production—losses in major crops and the role of crop protection. *Crop protection*, 23(4), 275-285.
- ONU** (United Nations) (2015). World Population Prospects: the 2015 Revision. Disponible en<https://esa.un.org/unpd/wpp>). Último acceso 2017.
- Pengue, W. A.** (2015). *Dinámicas y Perspectivas de la Agricultura Actual en Latinoamérica* (1a ed). Chile: Fundación Heinrich Böll Cono Sur. Disponible en https://www.researchgate.net/publication/311273290_Dinamicas_y_Perspectivas_de_la_Agricultura_Actual_en_Latinoamerica
- Robert, C., M.O. Bancal&C. Lannou** (2004). Wheat leaf rust uredospore production on adult plants: influence of leaf nitrogen content and Septoriatriticiti blotch. *Journal of Phytopathology* 94: 712-721.
- Ronis A., R. Semaškien, Z. Dabkevičius & Z. Liatuskas** (2009). Influence of leaf diseases on grain yield and yield components in winter wheat // *Journal of Plant Protection Research*. 49: 151–157

- Satorre, E.H.&G.A. Slafer** (1999). Wheat: Ecology and Physiology of Yield Determination. Food Products Press NY. USA: 503.
- Schierenbeck, M.** (2015). Roya de la hoja y mancha amarilla en trigo: Principales efectos sobre componentes ecofisiológicos involucrados en la generación de biomasa y rendimiento. Tesis de Maestría. Facultad de Ciencias Agrarias y Forestales, Universidad Nacional de La Plata, La Plata, Argentina: 220.
- Serrago, R.A. & D.J. Miralles** (2014). Source limitations due to leaf rust (caused by *Puccinia triticina*) during grain filling in wheat. Crop and Pasture Science 65:185-193.
- Serrago, R.A., Carretero, R., Bancal, M.O., Miralles, D.J.** (2009). Foliar diseases affect the ecophysiological attributes linked with yield and biomass in wheat (*Triticum aestivum* L.). European Journal of Agronomy 31,195-203.
- Serrago, R.A., R. Carretero, M.O. Bancal & D.J. Miralles** (2011). Grain weight response to foliar diseases control in wheat (*Triticum aestivum* L.). Field Crops Research 120: 352–359.
- Shanner, E. & Finney, R.E.** (1977).The effect of N-fertilization on the expression of slow-mildewing resistance in Knox wheat.Phytopathol. 67: 1051-1056
- Sharma, R.C., E. Duveiller, S. Gyawali, S.M. Shrestha, N.K. Chaudhary & Bhatta** (2004).Resistance to *Helminthosporium* leaf blight and agronomic performance of spring wheat genotypes of diverse origins Euphytica 139:33-44.
- Simón, M.R., A.E. Perelló, C.A. Cordo & H.O. Arriaga** (1996). Influencia de la infección tardia de *Septoria tritici* Rob. ex Desm. sobre el peso de mil granos y algunos parámetros de calidad en *Triticum aestivum*. Investigación agraria. Producción y protección vegetal11:161–171.
- Simón, M.R., A.E. Perelló, C.A. Cordo & P.C. Struik** (2002). Influence of *Septoria tritici* on yield, yield components, and test weight of wheat under two nitrogen fertilization conditions. Crop Science 42: 1974-1981.
- Simón, M.R., F.M. Ayala, S.I. Golik, I. Terrile, C.A. Cordo, A.E. Perelló, V. Moreno & H.O. Chidichimo** (2011). Integrated Foliar Disease Management to Prevent Yield Loss in Argentinian Wheat Production. Agronomy Journal 103:1441–1451.

- Slafer, G. A., D.J. Miralles, R. Savin, E.M. Whithchurch, F.G. González** (2004) Ciclo ontogénico, dinámica del desarrollo y generación del rendimiento y calidad en trigo. En: Producción de granos. Bases funcionales para su manejo. Ed. Facultad de Agronomía.UBA. Ciudad de Buenos Aires. 99-132.
- Varga, B., Z. Svenjak, D. Macesic & D. Uher** (2005). Winter wheat cultivar responses to fungicide application are affected by nitrogen fertilization rate. *Journal of Agronomy and Crop Science* 191:130–137.
- Waggoner, P.E. & R. Berger** (1987). Defoliation, Disease and Growth. *Phytopathology* 77: 393-398.
- Wang, J., E. Pawelzik, J. Weinert, Q. Zhao & G. Wolf** (2004). Effect of fungicide treatment on the quality of wheat flour and breadmaking. *Journal of Agricultural and Food Chemistry* 52: 7593-7600.
- Wegulo, S.N., J. Stevens, M. Zwingman & P.S. Baenziger** (2012). Yield Response to Foliar Fungicide Application in Winter Wheat, *Fungicides for Plant and Animal Diseases*, Dr. Dharumadurai Dhanasekaran (Ed.) InTech. Disponible en: <http://www.intechopen.com/books/fungicides-for-plant-and-animal-diseases/yield-response-to-foliar-fungicide-application-in-winter-wheat>.
- Wiese, M.W.** (1977). Compendium of wheat diseases. The American Phytopathological Society. 106 pp.
- Zadoks, J. C., Chang, T. T., & Konzak, C. F** (1974). A decimal code for the growth stages of cereals. *Weedresearch*, 14(6): 415-421.
- Zillinsky, F.J** (1984). Guía para la identificación de enfermedades en cereales de grano pequeño. Centro Internacional de Mejoramiento de Maíz y Trigo, CIMMYT, El Batán, México.

